

 Eni S.p.A.	Campo di BARBARA NW novembre 2022	Documento GEODCS_REL2022_BNW	Page - 1 - of 63
---	--------------------------------------	---------------------------------	------------------

Campo di BARBARA NW

Aggiornamento al 31/12/2021

Il campo di Barbara NW è situato nell'offshore Adriatico circa 55 km a NE di Ancona, a una profondità d'acqua di circa 70 m, nella concessione A.C7.AS. (Figura 1).

CONCESSIONE	SCADENZA	OPERATORE	TITOLARI	QUOTA	REGIONE
A.C7.AS	12/11/19	Eni	Eni	100%	Marche

Il giacimento è costituito da una blanda anticlinale asimmetrica orientata in direzione NW-SE, che si estende per circa 10 km². La serie mineralizzata è compresa tra i 1000 e 1300 m slm e interessa i livelli della serie PLQ della Formazione Carola (Figura 2). Il campo di Barbara NW è stato scoperto nel 1971 con il pozzo Barbara NW1. Il ritrovamento è stato poi confermato nel periodo 1979÷1991 dalla perforazione dei pozzi Barbara NW 2 e 3. Nel 1992 è stato perforato il pozzo Barbara NW 4 risultato sterile. Nell'ottobre 1997 è stata presentata da Eni una domanda di pronuncia di compatibilità ambientale concernente la realizzazione della piattaforma Barbara NW con la perforazione di 4 pozzi e la posa del relativo sealine di collegamento. Nel documento SIA si riportava un profilo di produzione ottenuto dagli studi statico e dinamico di giacimento (modello *Eclipse* 3D) del settembre 1995. Tale profilo prevedeva il recupero di 2100 MSm³ di riserve in 18 anni con un picco di produzione giornaliera di 800 kSm³/g. La subsidenza massima, prevista in relazione a tale profilo e valutata con un modello geomeccanico Geertsma cilindrico, è risultata pari a 18.6 cm (in corrispondenza del culmine del giacimento) dopo 20 anni dall'inizio della produzione; alla stessa data il cono di subsidenza (linea d'iso-subsidenza di 2 cm) era stimato estendersi per circa 3 km verso la costa. In seguito al Decreto VIA n° 3477 del 15/12/98 che approvava il programma lavori presentato, nel 1999 si è sviluppato il campo con la perforazione dei 4 nuovi pozzi Barbara NW 5, 6, 7 e 8 da una piattaforma di tipo BEAF. La piattaforma Barbara NW è entrata in produzione nel settembre del 1999 con una portata iniziale di circa 700 kSm³/g. Il comportamento produttivo del campo durante i primi 5 anni è risultato, però, inferiore alle attese a causa dell'arrivo prematuro dell'acqua di formazione che ha reso necessaria una revisione dello studio statico e dinamico di giacimento.

 Eni S.p.A.	Campo di BARBARA NW novembre 2022	Documento GEODCS_REL2022_BNW	Page - 2 - of 63
---	--------------------------------------	---------------------------------	------------------

Tale revisione, fatta nel maggio 2007, ha dato come risultati:

- 1) riduzione dell'11% del GOIP totale (*GOIP studio statico settembre 1995 pari a 3370 MSm³, GOIP revisione studio statico del maggio 2007 pari a 2983 MSm³*);
- 2) riduzione del 49% delle riserve a vita intera del campo sia per effetto del calo del GOIP, sia, soprattutto, per una migliore taratura del contributo dell'acquifero che ha penalizzato il recupero finale di gas. Il nuovo profilo di produzione prevede, infatti, il recupero di 1080 MSm³ entro il 2024 con graduale chiusura dei pozzi dovuta all'alta percentuale d'acqua prodotta.

Nel corso del 2010, a seguito della presentazione dell'istanza di sviluppo per il vicino campo di Fauzia, si sono di nuovo aggiornati sia il modello di giacimento, sia quello geomeccanico al fine di valutare la possibile subsidenza indotta dalla coltivazione dei due giacimenti, tenendo conto dei possibili effetti d'interferenza idraulica e meccanica fra gli stessi (la struttura di Fauzia dista circa 10 km in direzione SW da quella di Barbara NW).

La previsione di subsidenza è stata fatta con un modello a elementi finiti (FEM) considerando diversi scenari di pressione e compressibilità (*rel. Eni-TERA: Campi di Barbara NW e Fauzia – Modello Elasto-Plastico di Subsidenza – Management Summary – luglio 2010*).

Nel caso di Barbara NW i risultati dello studio hanno previsto per lo scenario di riferimento, ritenuto il più probabile (compressibilità uniassiale CmMed), una subsidenza massima pari a 31 cm dopo circa 10 anni (al 2022); il cono di subsidenza (linea d'iso-subsidenza di 2 cm) a sua volta è risultato estendersi al massimo per 14 km verso la costa al termine della vita produttiva e fino a fine simulazione, esaurendosi a circa 41-42 km dalla linea di costa.

In base alle prime indicazioni ottenute dall'ultima revisione dello studio di giacimento (*rel. GIAC/CS n° 77-09 del 10/2009*), si sono pianificati nel 2010 alcuni interventi finalizzati a migliorare la produzione e il recupero di gas dal giacimento stesso. Il relativo programma operativo prevedeva sia l'esecuzione di un *side-track* del pozzo Barbara NW 8 dir, sia la perforazione di due nuovi pozzi da "slot" ancora disponibili sulla piattaforma di Barbara NW (Barbara NW 9 dir e Barbara NW 10 dir).

In seguito ai risultati positivi ottenuti con l'esecuzione dei tre pozzi di progetto e in considerazione del notevole interesse minerario dei livelli sottili profondi mineralizzati a gas, si è modificato il programma iniziale perforando nel settore orientale del campo altri due *sidetrack*: Barbara NW 7 dirB e Barbara NW 6 dirA.

 Eni S.p.A.	Campo di BARBARA NW novembre 2022	Documento GEODCS_REL2022_BNW	Page - 3 - of 63
---	--------------------------------------	---------------------------------	------------------

L'intervento sulla piattaforma Barbara NW è terminato nel dicembre 2011.

Le nuove informazioni sul giacimento acquisite con gli interventi sopra menzionati e le migliori performance del campo hanno, inoltre, portato a un'ulteriore revisione/aggiornamento dello studio di giacimento, sia statico che dinamico (*rel. GISE 33/12 - Campo di Barbara NW - Studio di giacimento - dicembre 2012*) che ha prodotto i seguenti risultati:

1. rivalutazione del GOIP dei livelli sviluppati del campo pari al 175% (*GOIP studio statico maggio 2007 pari a 2983 MSm³, GOIP revisione studio statico del dicembre 2012 pari a 8200 MSm³*);
2. conseguente incremento del 142% delle riserve a vita intera del campo. Il nuovo profilo di produzione prevede, infatti, il recupero di 2646 MSm³ entro il 2029 con graduale chiusura dei pozzi dovuta all'alta percentuale d'acqua prodotta.

Sulla base dei risultati dello studio di giacimento sono state riviste le previsioni di subsidenza (*rel. Eni-Tera 04-13: Campi Barbara NW e Fauzia - Modello Elasto-Plastico di Subsidenza-Management Summary - aprile 2013*).

Nel corso del 2016 è stato nuovamente aggiornato il modello di giacimento (*rel. GISE 04/16-Nota tecnica per proposta 2ST- febbraio 2016*) per valutare la fattibilità di un intervento di W.O. che prevedeva la perforazione di 2 *side-track*. Il primo *side-track*, BNW 5dirB, è stato perforato a dicembre 2017 mentre BNW 9dirA è stato perforato agli inizi del 2018 ed è entrato in produzione nell'aprile 2018. Nel 2017 un'ulteriore aggiornamento del modello di giacimento ha stimato le riserve a vita intera del campo in 2737 MSm³ (*Campo di Barbara NW- relazione Eni-GISE 09/2017- Aggiornamento studio di giacimento per studio geomeccanico - Scheda Riassuntiva - settembre 2017*).

Infine, nel 2021 sulla scorta dei nuovi dati di produzione si è nuovamente aggiornato il modello di giacimento per una nuova stima aggiornata delle riserve a vita intera del campo pari a 2292 MSm³ (*Campo di Barbara NW - Aggiornamento studio di giacimento per studio geomeccanico, Rel. IPET-BE93C219-0 - gennaio 2021*).

In Figura 3 sono riportati gli andamenti storici della portata di gas (kSm³/g), d'acqua (m³/g) e della produzione cumulativa di gas al 31/12/21 pari a 2229 MSm³ (Figura 4, Figura 5 e Figura 6). La Figura 7 presenta, invece, il confronto tra il profilo di pressione calcolato dal modello *Eclipse* del 2021 e le pressioni statiche misurate per i livelli più rappresentativi del campo (i.e.

 Eni S.p.A.	Campo di BARBARA NW novembre 2022	Documento GEODCS_REL2022_BNW	Page - 4 - of 63
---	--------------------------------------	---------------------------------	------------------

PLQ-B+C1, PLQ-C1+C2 e PLQ-B+C1+C2+C4). Tale confronto mostra come le previsioni sull'andamento futuro della pressione di giacimento si possano ritenere affidabili.

Nel corso del 2020 l'emergenza sanitaria COVID-19 ha determinato pesanti ripercussioni sulle attività operative che sono state necessariamente ridotte e limitate a seguito delle opportune misure precauzionali adottate. Si è così determinata l'impossibilità di acquisizione, per il 2020, delle misure di pressione in pozzo, così come comunicato via PEC con nota Eni prot. n.529 del 26.06.2020, poichè tali operazioni avrebbero comportato movimentazione di mezzi navali a tempo pieno, attrezzature per lavori in off-shore e personale contrattista dedicato, incompatibili con la fase emergenziale e con le disposizioni in vigore in termini di salute e sicurezza. Sulla base dei risultati dell'ultimo studio di giacimento sono state anche aggiornate le previsioni di subsidenza, per le quali si è sempre tenuto conto dei possibili effetti d'interferenza idraulica e meccanica tra i campi di Barbara NW e di Fauzia (*Campi di Barbara NW e Fauzia – Modello geomeccanico di Subsidenza – Management Summary – Relazione IPET-3488C701-0 del marzo 2021*).

In questo aggiornamento si sono considerati due possibili scenari produttivi e due scenari di comprimibilità.

Per i due scenari produttivi:

- **caso DN:** Barbara NW caso "Do Nothing" e Fauzia caso "Do Nothing";
- **caso SVIL:** Barbara NW caso "DN" e Fauzia caso "DN" + sidetrack Fauzia 3dir A – caso massimo.

Allo scopo di tenere conto delle principali incertezze cui sono soggetti i dati utilizzati nelle simulazioni, sono stati presi in considerazione due differenti scenari di caratterizzazione dei materiali legati a due leggi di variazione della comprimibilità edometrica rispetto allo sforzo efficace:

1. comprimibilità media (scenario MNO2)
2. comprimibilità media con fattore 2 per le regioni più superficiali (scenario M2).

In totale, quindi, si sono esaminati con il modello geomeccanico quattro possibili scenari:

- **DN_MNO2:** scenario di produzione DN e scenario di comprimibilità MNO2;
- **SVIL_MNO2:** scenario di produzione SVIL e scenario di comprimibilità MNO2;
- **DN_M2:** scenario di produzione DN e scenario di comprimibilità M2;
- **SVIL_M2:** scenario di produzione SVIL e scenario di comprimibilità M2.

Tutte le previsioni sono state protrate fino al 1 gennaio 2062 per considerare l'effetto dell'evoluzione della pressione nelle regioni mineralizzate e in acquifero anche dopo la fine della produzione (1 gen 2032 per il caso SVIL).

In Tabella1 vengono riportati i risultati dello studio di subsidenza per lo scenario analizzato più conservativo (SVIL) e per i diversi step temporali durante e dopo la vita produttiva dei due campi. Sono presenti i valori massimi di subsidenza e l'estensione del fenomeno calcolata come distanza del punto di massima subsidenza dalla linea dei 2cm.

In particolare, le previsioni di subsidenza in Tabella1 sono riportate alle seguenti date:

- 30 settembre 2020 (data di fine history match);
- 1 gennaio 2023: data di massima subsidenza prevista;
- 1 gennaio 2032: fine della produzione;
- 1 gennaio 2062: fine della simulazione.

Tabella 1: massima subsidenza ed estensione del fenomeno per i due scenari "SVIL"

	30-set-2020		1-gen-2023		1-gen-2032		1-gen-2062	
	Max sub (cm)	Max estensione (km)						
SVIL_MNO2	40	11	40	11	39	14	37	15
SVIL_M2	66	11	66	11	64	14	60	15

Il valore della massima subsidenza è stimato per il solo giacimento di Barbara NW, (scenari DN_M2 e SVIL_M2), pari a 66 cm in corrispondenza del campo (vedi Tabella1) e pari 64 cm in corrispondenza della piattaforma (Figura 14). Entrambi i valori si raggiungono nel 2023.

Si noti come in tutti i casi esaminati il cono di subsidenza si esaurisca sempre a circa 40 km dalla linea di costa (Figura 8 e Figura 9).

Per maggiori informazioni si rimanda alla relazione *"Campi di Barbara NW e Fauzia – Modello geomeccanico di Subsidenza – Management Summary – Relazione IPET-3488C701-0 del marzo 2021"*.

A partire dai primi anni '70, Eni ha progettato e realizzato lungo la costa adriatica una rete di livellazione geometrica che, su richiesta degli Enti di Controllo a livello regionale e nazionale (Regione Emilia-Romagna, Provincia di Ravenna, Comune di Ravenna e Ministero dell' Ambiente), è rilevata con cadenza periodica. A partire dalla campagna 2011, tale periodicità ha una cadenza triennale come raccomandato nelle *"Linee Guida per lo Studio del Fenomeni di*

 Eni S.p.A.	Campo di BARBARA NW novembre 2022	Documento GEODCS_REL2022_BNW	Page - 6 - of 63
---	--------------------------------------	---------------------------------	------------------

Subsidenza nell’Ambito dei Progetti di Sviluppo Sostenibile di Campi ad Olio e Gas” emesse dal Dip. DMMMSA dell’Università di Padova nel 2007.

Le specifiche tecniche adottate sono quelle ora in uso per i rilievi della rete Eni e rispettano le indicazioni contenute nelle già citate linee guida emesse dall’Università di Padova.

Eni, inoltre, ha affidato la certificazione della documentazione e della metodologia utilizzata a un ente esterno, che attualmente è l’Università degli Studi di Bologna, Dipartimento di Ingegneria Civile, Chimica, Ambientale e dei Materiali – DICAM.

La rete di livellazione rilevata nel 2020 (ultimo rilievo eseguito), integrata nel 2017 con l’aggiunta dell’area del campo di Agosta, è suddivisa nelle seguenti aree di attività:

- dorsale Adriatica, da Treviso fino a Pesaro, compreso lo sviluppo degli sbracci sul delta del Po, per un totale di circa 1230 km di sviluppo lineare;
- tratto da Pesaro a P.to San Giorgio, per un totale di circa 230 km di sviluppo lineare;
- tratto Marche-Abruzzo, da P.to San Giorgio a Pescara, per un totale di circa 200 km di sviluppo lineare.

Le operazioni di campagna si sono svolte nel periodo compreso tra ottobre e dicembre 2020 sotto la diretta supervisione di tecnici Eni e degli esperti dell’ente certificatore.

Le misurazioni di campagna si sono svolte nel pieno rispetto delle specifiche tecniche, con il controllo periodico dei supervisori e con la verifica di chiusura di tutti i tratti in andata e ritorno, nonché di tutti i poligoni realizzati. I parametri matematici della compensazione rientrano nei canoni previsti, sia per i valori di chiusura, sia per i valori legati alla propagazione dell’errore. Si ritiene opportuno sottolineare, inoltre, che, sebbene vi siano punti di contatto tra i vari tratti di livellazione afferenti alla rete Eni, allo stato attuale non è possibile utilizzare in modo congiunto i valori di quota ottenuti sulle singole reti, a causa della disomogeneità tra i capisaldi origine delle tre reti di livellazione.

Per ovviare a tale situazione, determinata da fattori ambientali (grandi distanze), su suggerimento dell’ente certificatore è stata realizzata una linea di stazioni permanenti CGPS disposte a distanze regolari tra Pineto e P.to Sant’Elpidio che, con il consolidamento dei dati CGPS, costituiranno una serie di capisaldi origine omogenei, tali da consentire d’ottenere misure di quota fra loro consistenti da Treviso a Pescara. Nel tratto di costa da Pesaro a P.to San Giorgio, antistante alla piattaforma di Barbara NW, con l’acquisizione della campagna 2020 sono in totale disponibili 8 campagne di livellazione fatte negli anni 2006, 2007, 2008, 2009, 2011,

 Eni S.p.A.	Campo di BARBARA NW novembre 2022	Documento GEODCS_REL2022_BNW	Page - 7 - of 63
---	--------------------------------------	---------------------------------	------------------

2014, 2017 e 2020. I dati rilevati rappresentano, sebbene per valori molto bassi, un trend di generale abbassamento della zona analizzata.

Il grafico che segue (figura A), riporta per confronto le serie storiche 2006-2014 e 2006-2020 elaborate nel tratto da Pesaro a P.to Sant'Elpidio e consente di apprezzare graficamente come, nel corso degli anni, si sia registrata una generale diminuzione delle velocità di subsidenza che, mediamente, salvo punte localizzate di valore diverso, si attesta intorno ai 2 mm/anno nella zona tra Pesaro e Scossicci e intorno ai 0,5 mm/anno nella zona tra Scossicci e P.to Sant'Elpidio.

Nei prossimi anni, con nuove campagne di misura (il prossimo rilievo è previsto nel 2023) e con il consolidamento dei dati CGPS e dei rilievi SAR, sarà possibile fare interpretazioni più puntuali dei dati di livellazione anche per il tratto a sud di Pesaro.

Si deve notare, inoltre, che i dati di livellazione, misurati sul singolo caposaldo, non sono di solito sufficienti per caratterizzare la distribuzione areale della subsidenza. Tali misure, infatti, possono essere talvolta alterate da "disturbi" accidentali intervenuti nel tempo sui manufatti su cui i capisaldi stessi sono stati materializzati.

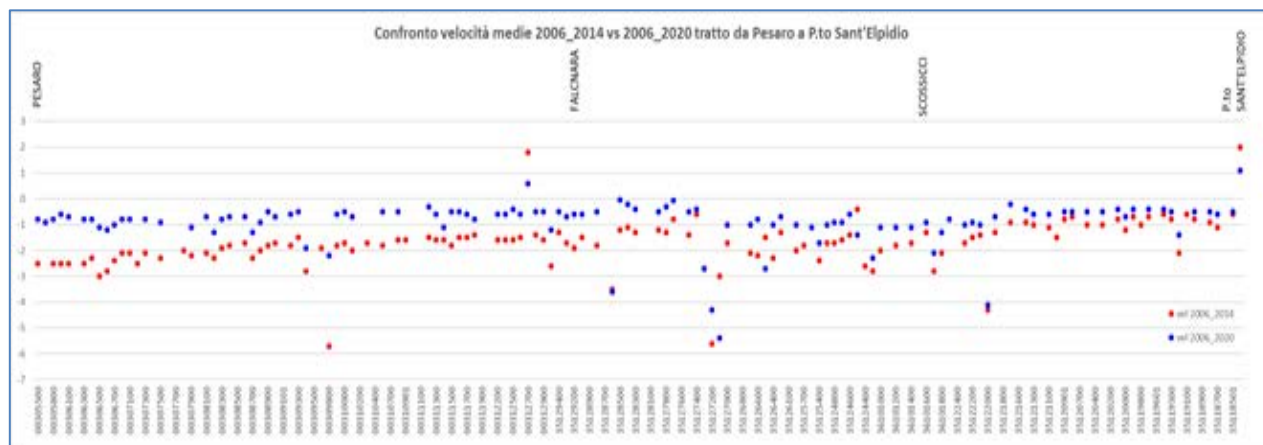
Al fine d'ottenere una rappresentazione areale della subsidenza o della velocità media di subsidenza di una certa area è necessario avere, quindi, misure di livellazione di più capisaldi, per la cui interpretazione può convenire poi una suddivisione in opportune classi di valori, come di seguito specificato.

A questo proposito si sono stimate con regressione lineare le velocità medie annue d'abbassamento del suolo V_a ² dei singoli capisaldi della tratta Pesaro - P.to Sant'Elpidio, raggruppandole poi nelle seguenti 5 classi:

- classe 4: include i capisaldi con $V_a \geq 10$ mm/a;
- classe 3: include i capisaldi con $5 \leq V_a < 10$ mm/a;
- classe 2, include i capisaldi con $3 \leq V_a < 5$ mm/a;
- classe 1: include i capisaldi con $0 \leq V_a < 3$ mm/a;
- classe 0: include i capisaldi con $V_a < 0$ (sollevamento del suolo).

² Nel presente rapporto di norma le velocità di subsidenza (i.e di abbassamento della superficie) sono riportate con valori negativi. Per comodità d'interpretazione, però, nell'elenco che segue, come pure nei due paragrafi successivi, le velocità di subsidenza sono state rappresentate con valori positivi.

Figura A – Tratta Pesaro - Sant’Elpidio: velocità medie di subsidenza nei periodi 2006-2014 e 2006-2020



L’elaborazione con questo approccio delle misure di livellazione del periodo 2006-2014, mostra un trend di generale abbassamento di questo tratto di costa, per valori di velocità media, come detto molto contenuti: il 2% dei punti ricade nella classe “0”, il 93% nella classe 1, il 4% nella classe 2 e, infine, meno dell’1% nella classe 3.

Nel periodo 2006-2020, la distribuzione delle velocità secondo la classificazione proposta, mostra, per quanto possibile dati i valori molto piccoli, il rallentamento delle velocità di subsidenza, infatti: il 2% dei punti ricade nella classe “0”, il 94% nella classe 1, il 3% nella classe 2 e meno dell’1% nella classe 3.

I capisaldi per i quali si osservano alte velocità d’abbassamento (es. 5.4 mm/a sul CS 35127100 nell’entroterra di Ancona), oppure fenomeni d’innalzamento del suolo (es. nella zona di P.to Sant’Elpidio) sono scarsi di numero e isolati: sono, quindi, poco significativi dal punto di vista areale.

Non si possono escludere fenomeni localizzati dovuti a instabilità dei capisaldi stessi, che saranno comunque oggetto di verifica nelle prossime campagne di misura.

Il confronto tra i dati CGPS delle stazioni ubicate nell’area in esame (Fano, Falconara e P.to San Giorgio) con le misure delle livellazioni mostra andamenti che, fatte salve le diverse precisioni in termini di ripetibilità, sono assolutamente compatibili.

Per completare il monitoraggio altimetrico del tratto di costa antistante alle piattaforme si è proceduto, inoltre, ad aggiornare la copertura SAR (dicembre 2021) per un’analisi areale altimetrica integrata (Appendice A) con i dati forniti dalle stazioni CGPS (Figura 10).

 Eni S.p.A.	Campo di BARBARA NW novembre 2022	Documento GEODCS_REL2022_BNW	Page - 9 - of 63
---	--------------------------------------	---------------------------------	------------------

Le attività di monitoraggio sono state progressivamente potenziate mettendo in opera un numero crescente di stazioni CGPS sulle piattaforme offshore operate da Eni. Dal 2007, infatti, ne sono state installate sulle piattaforme di Regina e Calpurnia (giugno 2007), di Anemone B (agosto 2007), di Annalisa (ottobre 2007), di Calipso, Tea-Lavanda-Arnica, Clara Est e Clara Nord (novembre 2007), di Barbara NW (gennaio 2008), di Bonaccia (febbraio 2008), di Annamaria A e Annamaria B (gennaio 2010), di Clara W (ottobre 2010) e di Guendalina (agosto 2011). Le stazioni CGPS di Naide e PCC sono, invece, operative dal luglio 2005, mentre la postazione Naomi-Pandora è attiva dal giugno 2002. In tempi più recenti sono state installate anche le nuove stazioni CGPS di Elettra (luglio 2014), di Fauzia (settembre 2014), di Barbara E (novembre 2014), di Bonaccia NW (settembre 2015), e, infine di Clara NW (marzo 2016).

Il sistema di monitoraggio è stato poi ulteriormente potenziato con la costruzione lungo la costa, nel tratto prospiciente i campi sopracitati, di 3 nuove stazioni altimetriche *SSU* (Satellite Survey Unit) equipaggiate ciascuna con un CGPS, un caposaldo di livellazione geometrica e 2 bersagli radar solidalmente connessi tra loro tramite un basamento di cemento armato. Le 3 stazioni *SSU* sono state realizzate nelle Centrali Eni di Rubicone, di Fano e di Falconara nel dicembre 2007 (Appendice B); negli stessi siti sono stati perforati tra ottobre e dicembre 2008 anche tre pozzi assestometrici per il monitoraggio della compattazione superficiale del terreno. Tali stazioni si sono aggiunte a quelle preesistenti, installate più a Nord lungo la costa ravennate, nelle località di Fiumi Uniti, di Smarlacca e di Spinaroni.

Inoltre, come detto in precedenza, sono state monumentate altre 4 stazioni CGPS in Ortona, Pineto, Grottammare e P.to Sant'Elpidio, il cui completamento è avvenuto nel dicembre 2009, tutte equipaggiate con 2 bersagli radar e con un caposaldo di livellazione.

Allo stato attuale la stazione di Ortona non è, però, più operativa dal 19 aprile 2013 per l'alienazione dell'area. Nel novembre 2016, infine, è stata messa in opera una nuova postazione CGPS a Miglianico, completata con i *corner reflector* nel mese di maggio 2017.

Nel corso del 2018, sono state installate due nuove postazioni CGPS, entrambe nella configurazione S.S.U. sulle postazioni di Pomposa (ACPO – installata a settembre 2018) e di Po di Tolle (POTO – installata nel mese di luglio 2018).

Analogamente a quanto avviene per le livellazioni, anche i dati del monitoraggio CGPS sono validati da un ente esterno. Attualmente questa attività è svolta dall'Università degli Studi di Bologna, Dipartimento di Ingegneria Civile, Chimica, Ambientale e dei Materiali – DICAM. I dati CGPS acquisiti sulla piattaforma di Barbara-NW, certificati fino al 2020 e in fase di certificazione per gli anni successivi, sono stati elaborati con il software scientifico Bernese dalla ditta e-GEOS. Per rappresentare in grafici plano-altimetrici la serie storica più completa di misure, ovvero quella estesa al 31/12/2021 (Figura 11), si sono utilizzati in questa relazione anche i dati non certificati, vista la generale convergenza di questi ultimi con quelli certificati come mostrato in Tabella 2.

Tabella2 - Confronto dati CGPS certificati e non certificati aggiornati al 31/12/2020

Stazione	Dati Non Certificati			Dati Certificati			Delta (Non Cert.-Cert.)		
	VEL-N mm/a	VEL-E mm/a	VEL-H mm/a	VEL-N mm/a	VEL-E mm/a	VEL-H mm/a	D-N mm/a	D-E mm/a	D-H mm/a
Barbara NW	7.87	32.03	-25.91	8.07	32.03	-25.82	-0.2	0.00	-0.9

A questo proposito è opportuno precisare che l'analisi e l'interpretazione degli andamenti nel tempo delle misure altimetriche CGPS, da utilizzarsi per una verifica/taratura dei modelli previsionali di subsidenza, non possono essere considerate sufficientemente attendibili per dataset relativi a periodi di osservazione inferiori ai 36 mesi, come indicato dall'Ente che certifica tali dati con cadenza biennale.

L'Ente certificatore, infatti, verifica e valida i dati registrati al fine di poter disporre di un numero sufficiente di osservazioni per il corretto inquadramento delle componenti periodiche, della loro incidenza sulle misure e per poter filtrare il "rumore" che, per piccole velocità di subsidenza, è dello stesso ordine di grandezza del valore del fenomeno fisico osservato.

Serie storiche di durata inferiore ai 36 mesi possono, quindi, essere utilizzate solo per confrontare il trend degli andamenti temporali delle misure altimetriche con quello dei valori calcolati da modello previsionale, qualora si abbia una subsidenza caratterizzata da valori sufficientemente elevati. In questi casi sarà possibile monitorare solo eventuali anomalie di trend ma non procedere a un confronto diretto dei valori attesi da modello vs. i valori misurati.

In generale:

 Eni S.p.A.	Campo di BARBARA NW novembre 2022	Documento GEODCS_REL2022_BNW	Page - 11 - of 63
---	--------------------------------------	---------------------------------	-------------------

- dataset < 12mesi: solo *follow up* per monitoraggio dei dati acquisiti;
- dataset di 12 ÷ 36 mesi e
 - piccoli valori di subsidenza attesi: analisi tendenziale del fenomeno e monitoraggio delle anomalie verso il trend previsionale;
 - grandi valori di subsidenza attesi: analisi tendenziale del fenomeno per calibrazione del modello previsionale;
- dataset > 36 mesi: analisi di trend e calibrazione dei modelli geomeccanici confrontando il dato di velocità di subsidenza misurato (depurato dalla velocità di subsidenza naturale) e i valori dei modelli previsionali.

Le elaborazioni sono state fatte con software scientifico Bernese vers.5.2, strategia OBS-MAX, utilizzando i prodotti finali (effemeridi precise e file del polo) messi a disposizione dall'IGS (International GNSS Service) e il sistema di riferimento ITRF2014.

Per le nostre elaborazioni il sistema di riferimento è materializzato dalle stazioni appartenenti alla rete EUREF disponibili tra: Bucarest, Genova, Graz, Matera, Medicina, Padova, Penc, Sofia, Torino, Zimmervald. L'eliminazione degli outlier delle serie storiche è effettuata mediante test a 3 SIGMA iterativo.

Per il campo di Barbara-NW, sulla base di una serie storica di misure CGPS di durata superiore a 36 mesi - anche se parzialmente incompleta a causa delle operazioni di *work-over* in piattaforma da agosto 2010 a luglio 2011 - è possibile stimare una velocità media di subsidenza totale³ pari a -25.05 mm/a (Figura 11 e Figura 13), senza variazioni significative rispetto a quanto riportato nella precedente relazione di aggiornamento (-25.91 mm/a nel 2020).

Utilizzando un software realizzato dall'Università di Roma La Sapienza (software FEED – Fast Elbow Effect Detector), creato per migliorare le analisi dei dati delle serie storiche GNSS per rilevare variazioni di velocità, nell'ambito della serie storica dei dati CGPS disponibile è, inoltre, possibile individuare (modello empirico), alcune variazioni di velocità correlabili con la storia produttiva del campo (Figura 12).

³ La "subsidenza totale" rappresenta in questo caso l'abbassamento altimetrico che il fondale marino subisce in corrispondenza della piattaforma su cui è installato il CGPS. A determinare tale "subsidenza totale" concorrono vari fenomeni: la compattazione di strati profondi per estrazione di gas (subsidenza antropica), movimenti tettonici e costipazione naturale dei sedimenti (subsidenza naturale), compattazione dei sedimenti più superficiali a fondo mare per effetto del peso della piattaforma. Quest'ultimo fenomeno è evidente soprattutto nel periodo immediatamente successivo all'installazione della piattaforma stessa.

 <p>Eni S.p.A.</p>	<p>Campo di BARBARA NW novembre 2022</p>	<p>Documento GEODCS_REL2022_BNW</p>	<p>Page - 12 - of 63</p>
--	--	---	--------------------------

In particolare:

- periodo che va dall'installazione del CGPS al gennaio 2011, in cui la velocità media di subsidenza totale è pari a circa -4.51 mm/a;
- periodo gennaio 2011 - dicembre 2014, in cui la velocità media di subsidenza totale è pari a circa -47.89 mm/a;
- periodo dicembre 2014 – dicembre 2017, in cui la velocità media di subsidenza totale è pari a circa -9.72 mm/a;
- periodo dicembre 2017– dicembre 2021, in cui la velocità media di subsidenza totale è pari a circa -17.15 mm/a.

Si segnala altresì che eventuali piccole differenze nelle stime delle velocità, che si possono verificare rielaborando in epoche successive i dati CGPS, dipendono anche dal fatto che l'aggiornamento delle serie storiche comporta sia l'elaborazione di un modello periodico più attendibile, sia la ridefinizione degli outliers, che sono determinati mediante il test a tre sigma su tutta la serie storica esistente.

Tenuto conto di quanto sopra detto si sono confrontati i valori di subsidenza previsti dal modello geomeccanico del marzo 2021 con quelli misurati dalla stazione CGPS, senza che questi ultimi siano stati depurati dalla componente di subsidenza naturale.

Come mostrato dalla Figura 14, tale confronto conferma l'attendibilità dell'attuale modello di subsidenza e le previsioni fornite relativamente allo scenario di riferimento.

In sintesi, le indicazioni del modello previsionale di subsidenza, la notevole distanza del campo dalla costa (55km) e i monitoraggi fatti da Eni consentono di escludere che l'eventuale subsidenza indotta dalla produzione di gas dal campo di Barbara NW possa avere qualche impatto sull'andamento altimetrico del tratto di litorale monitorato.

Si segnala infine che:

- a) in Figura 15 è presentata una scheda riassuntiva con i dati di campo e lo status dei monitoraggi;
- b) in Figura 16 è presentato un particolare della rete di monitoraggio Eni.



Figura 1 - Ubicazione del campo di Barbara NW

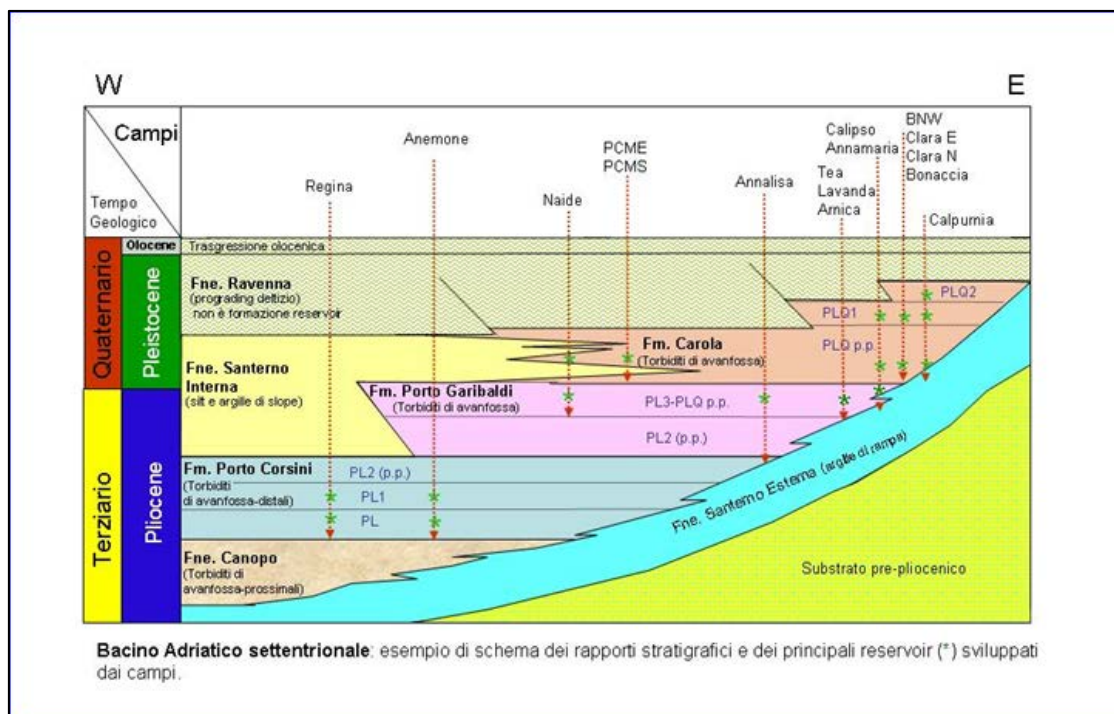


Figura 2 - Schema dei rapporti stratigrafici

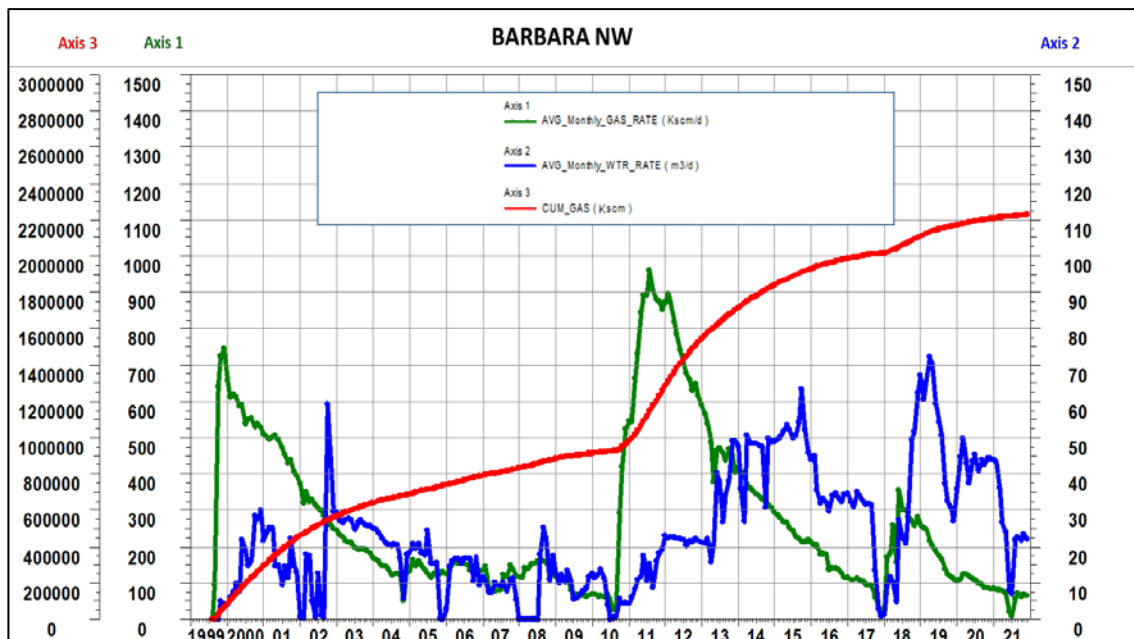


Figura 3 - Campo di Barbara NW: grafico della produzione storica

CAMPO DI BARBARA NW					
ANNO	Produzione annuale (MSm ³)		Produzione cumulativa (MSm ³)		Rapporto Produzione reale vs Riserve modello 3D ECLIPSE
	Reale	Modello 3D ECLIPSE	Reale	Modello 3D ECLIPSE	
1999	67	67	67	67	3%
2000	211	211	278	278	12%
2001	170	170	449	449	20%
2002	112	112	560	560	24%
2003	76	76	636	636	28%
2004	49	49	686	686	30%
2005	50	50	736	736	32%
2006	53	53	788	788	34%
2007	40	40	829	829	36%
2008	53	53	881	881	38%
2009	31	31	912	912	40%
2010	53	53	966	966	42%
2011	292	292	1258	1258	55%
2012	272	272	1529	1529	67%
2013	174	174	1703	1703	74%
2014	130	130	1832	1832	80%
2015	91	91	1923	1923	84%
2016	60	60	1983	1983	86%
2017	32	32	2015	2015	88%
2018	87	87	2102	2101	92%
2019	67	67	2168	2168	95%
2020	38	39	2207	2207	96%
2021	23	31	2229	2238	97%
2022		22		2260	
2023		15		2274	
2024		10		2284	
2025		6		2290	
2026		3		2292	

Figura 4 - Campo di Barbara NW: produzione reale e da modello Eclipse 2021

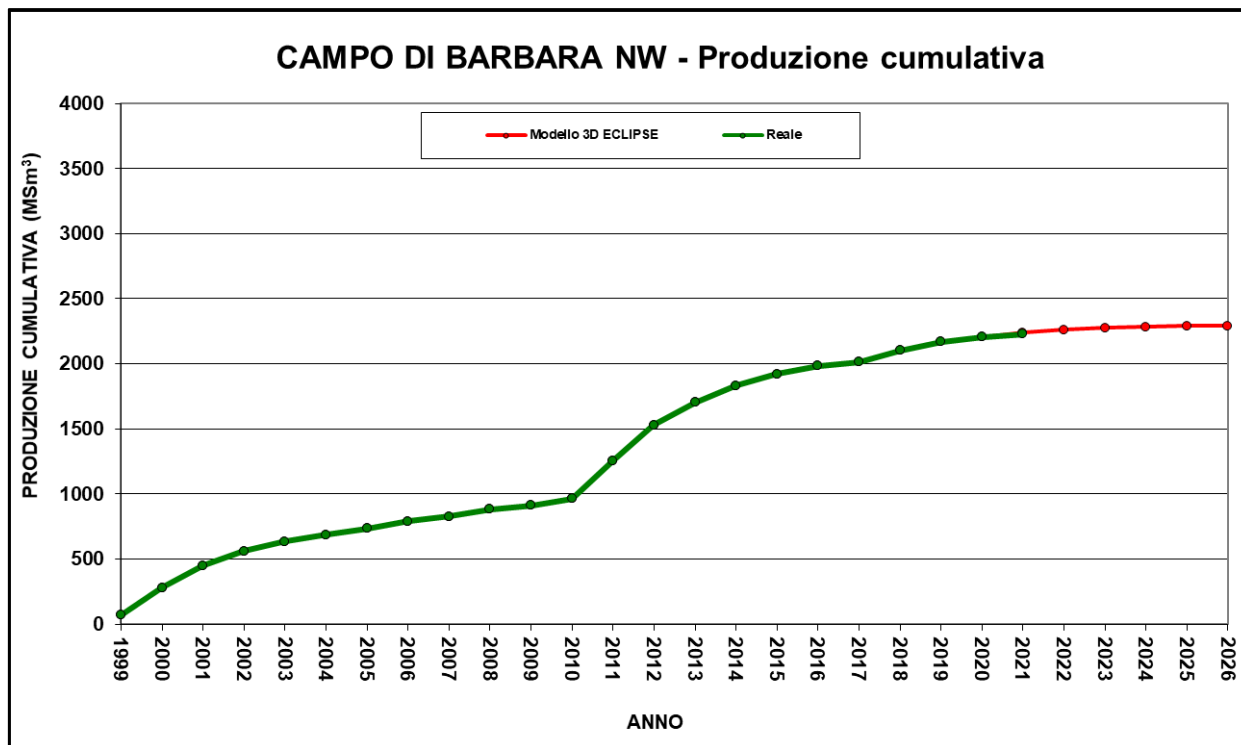


Figura 5 - Campo di Barbara NW: grafico di produzione reale e da modello Eclipse 2021

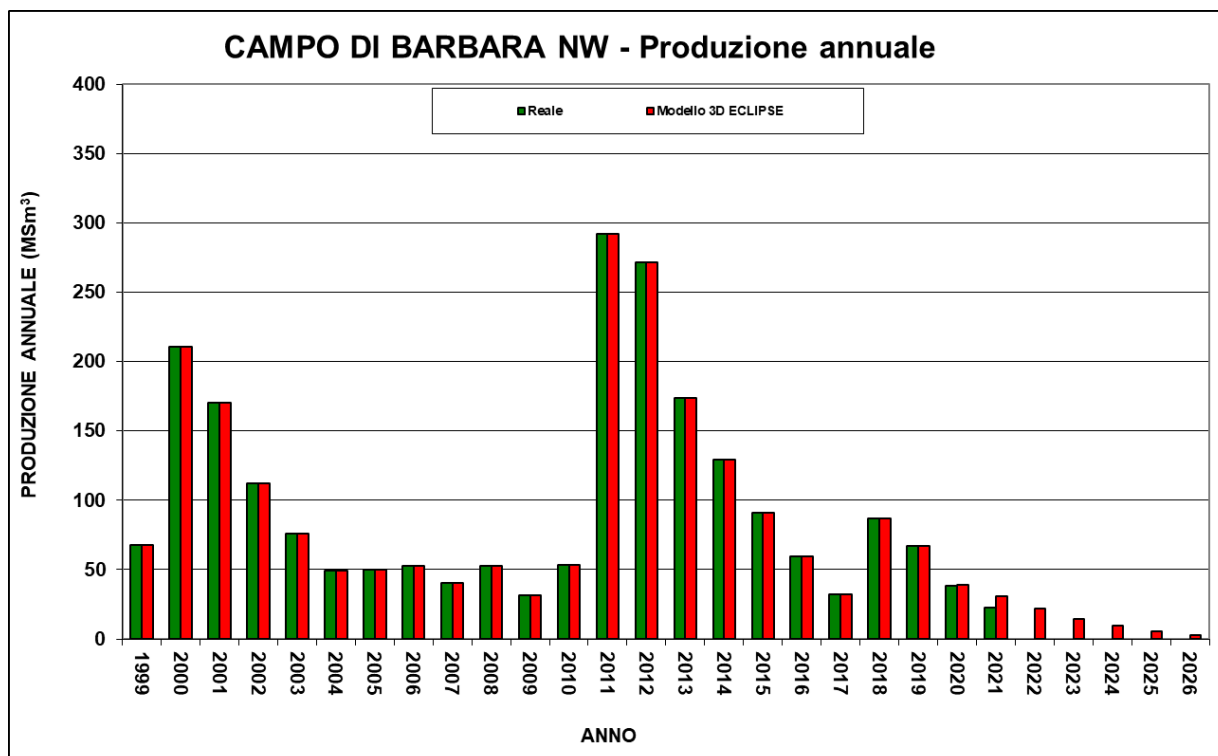


Figura 6 - Campo di Barbara NW: produzioni (annuale) reale e da modello Eclipse 2021

CAMPO DI BARBARA NW

Data	Livelli PLQ-C1+C2			Livelli PLQ-B+C1			Livelli PLQ-B1+C1+C2+C4		
	Pressione (bara)	RFT in pozzo	Profilo in string	Pressione (bara)	RFT in pozzo	Profilo in string	Pressione (bara)	RFT in pozzo	Profilo in string
14/03/1999	112	6 Dir		111	6 Dir				
25/11/2004	99		6 C	92		7 C			
31/01/2008				101		7 C			
15/02/2010	102		6 C	97		7 C			
02/09/2010	104	10 Dir		104	10 Dir				
19/05/2011	101	5 Dir A							
23/10/2013	100		9 L						
02/12/2014	99		9 L						
10/08/2015	100		9 L						
06/10/2016	101		9 L						
06/07/2017	100		9 L						
04/06/2018							100		9 C
14/11/2019							98		9 C
20/05/2022							99		9 C

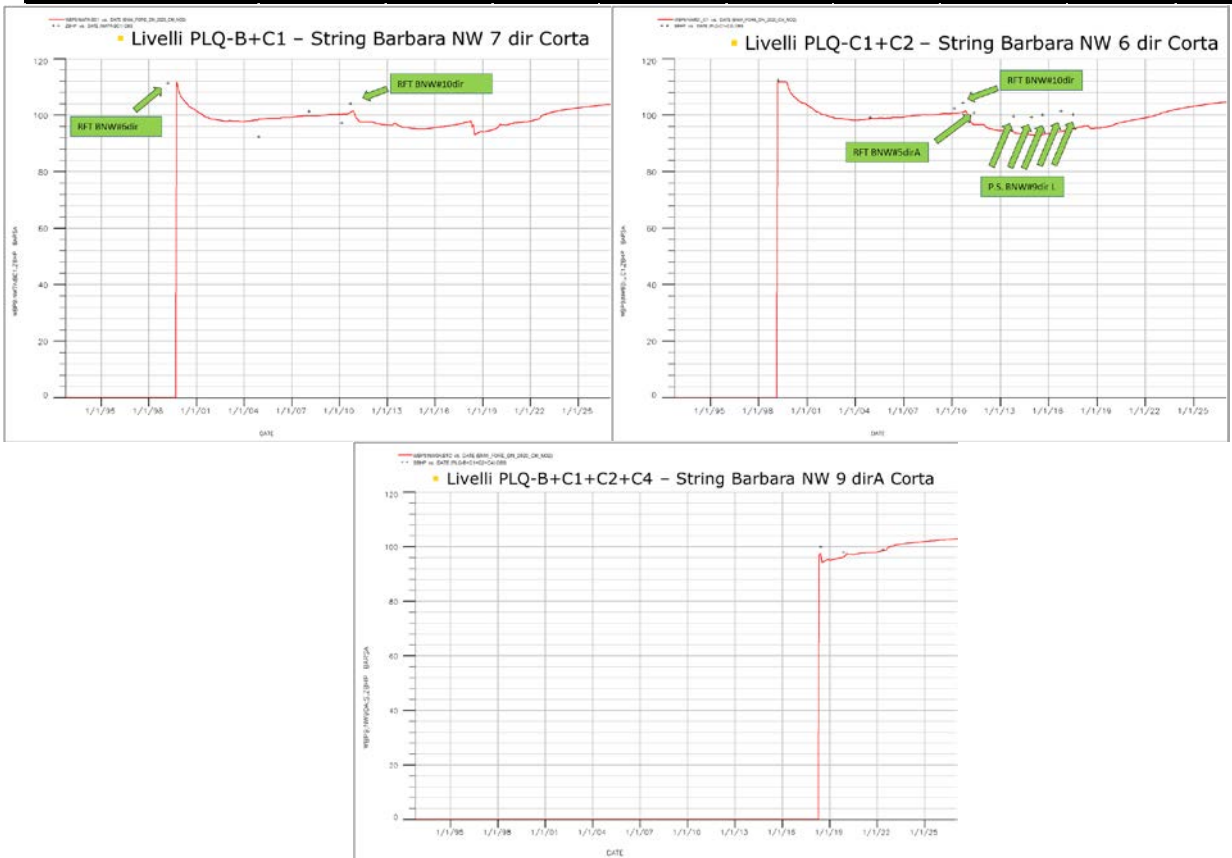


Figura 7 - Campo di Barbara NW: confronto tra i dati di pressione misurati e modello Eclipse 2021 (livelli PLQ-B+C1, PLQ-C1+C2, PLQ-B+C1+C2+C4)

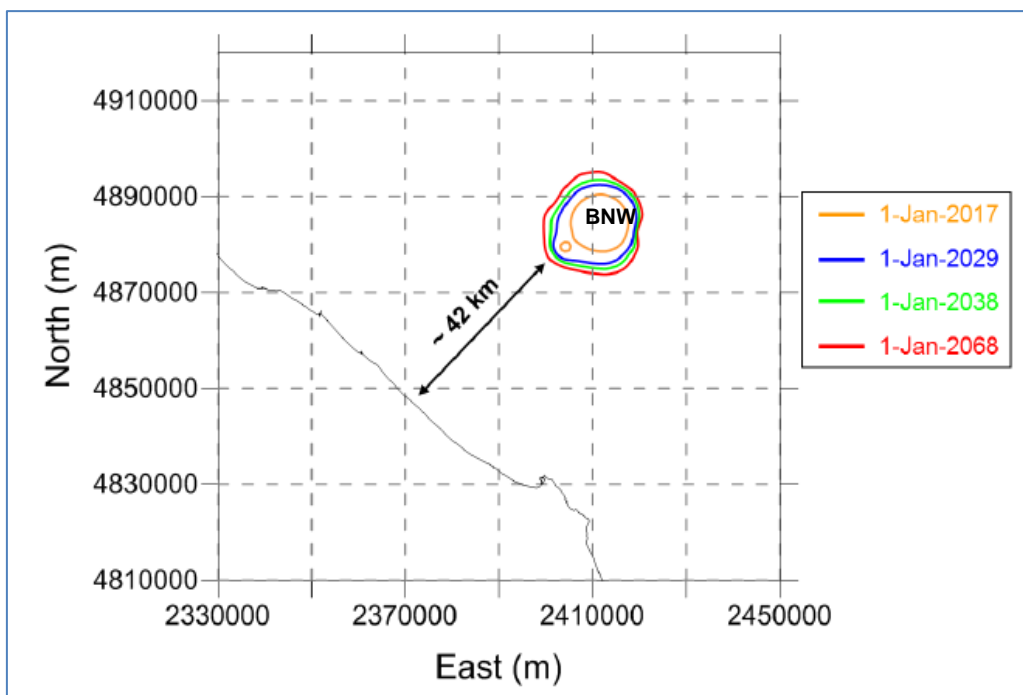


Figura 8 - Campo di Barbara NW e Fauzia: evoluzione temporale della linea di iso-subsidenza dei 2 cm per lo scenario SVIL_MNO2

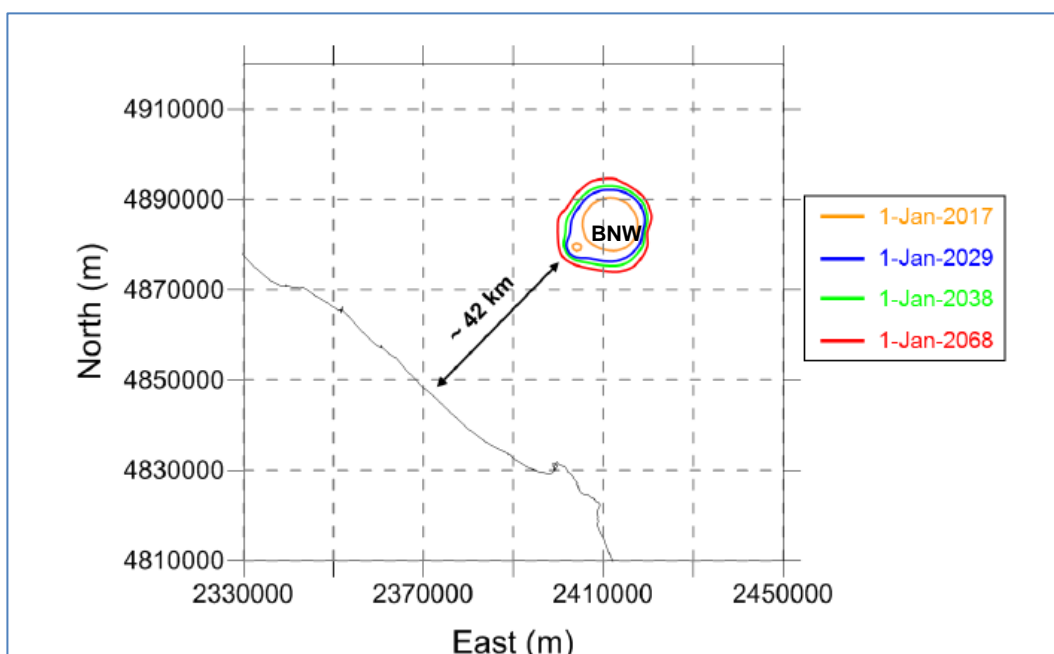


Figura 9 - Campo di Barbara NW e Fauzia: evoluzione temporale della linea di iso-subsidenza dei 2 cm per lo scenario SVIL_M2

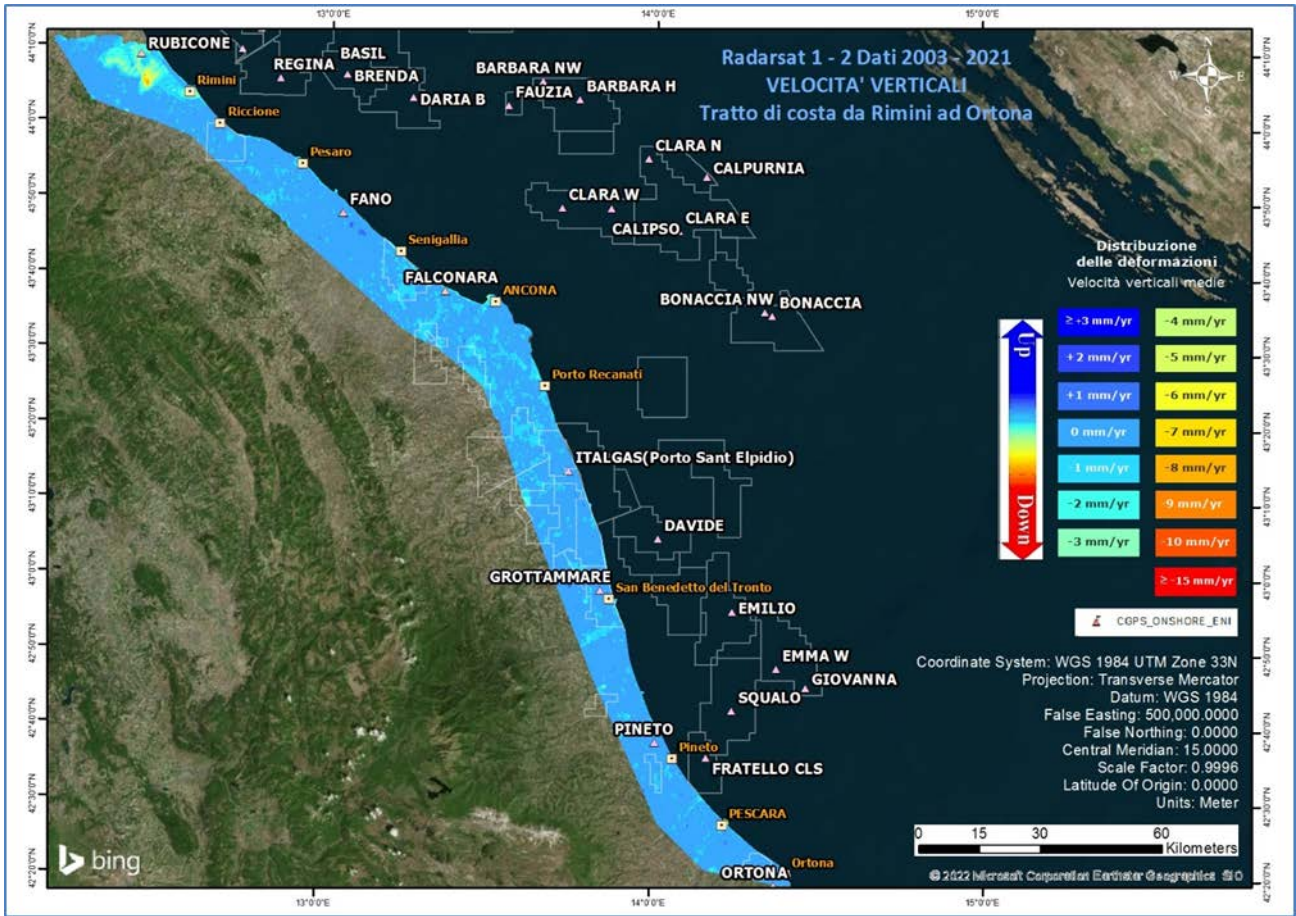


Figura 10 - Campo di Barbara NW: analisi dati SAR dal 2003 al 2021

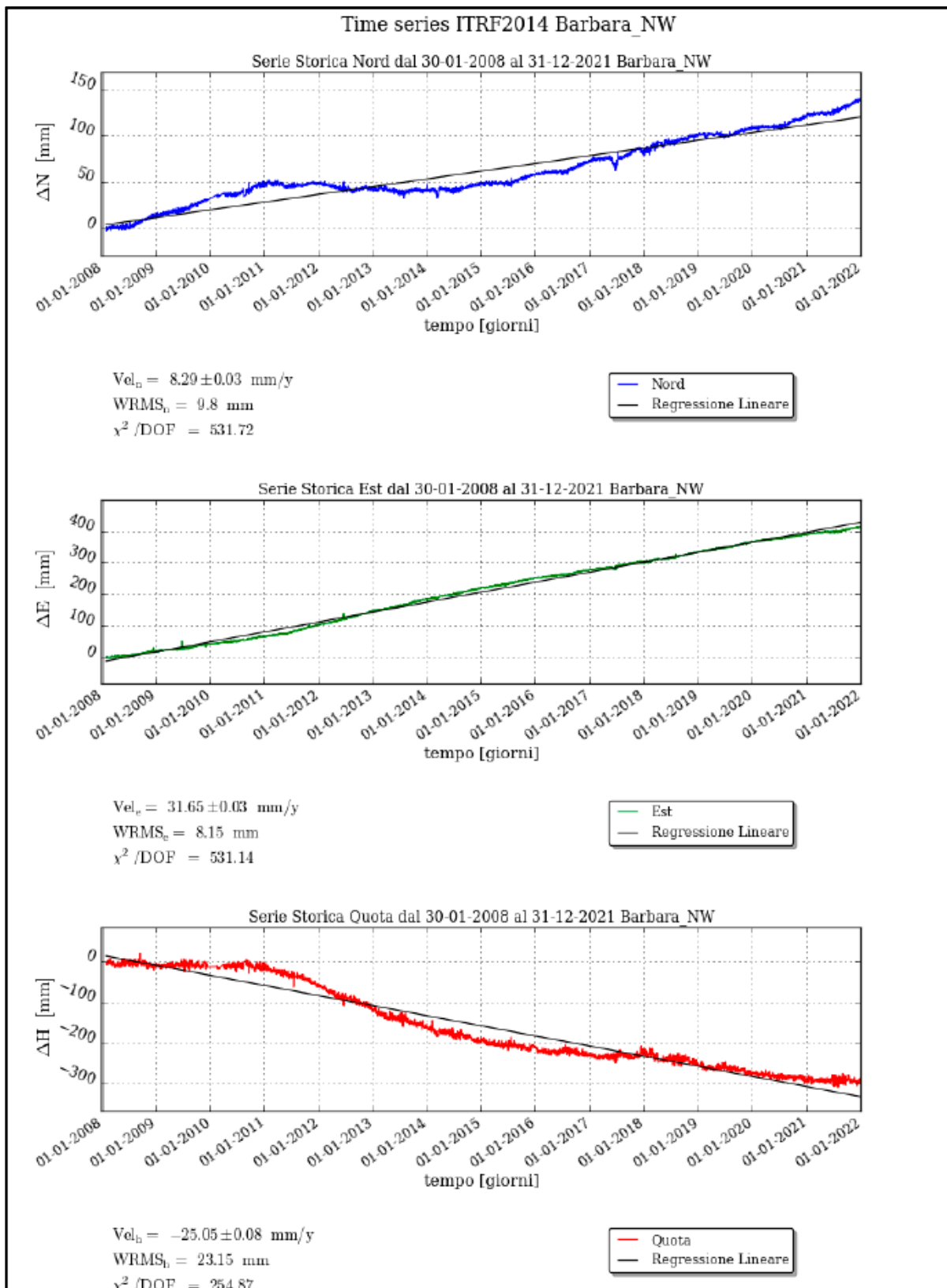
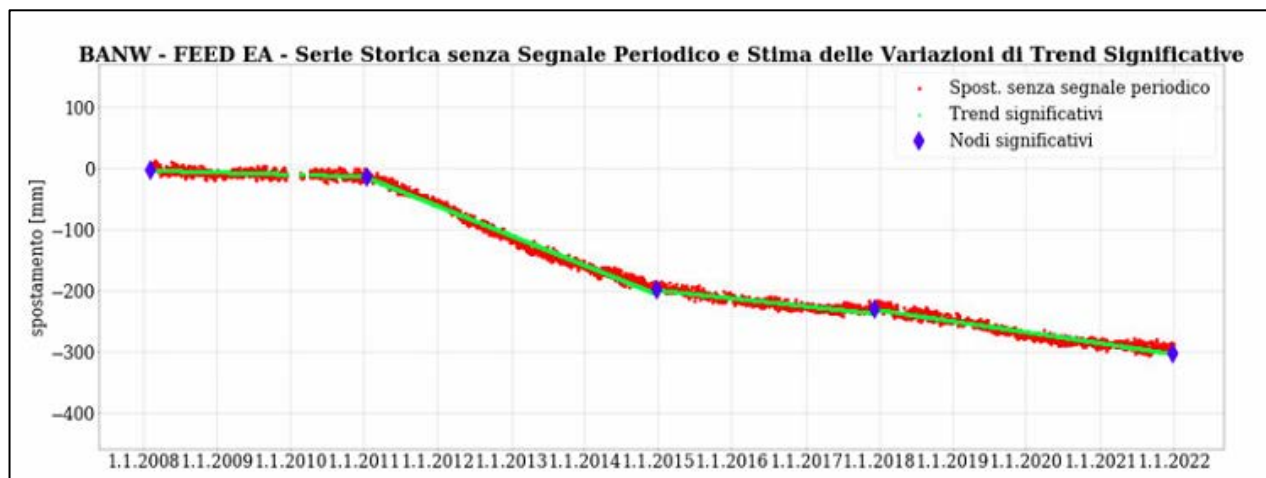


Figura 11 - Campo di Barbara NW: serie storica di misure CGPS



FEED PP - MODELLO EMPIRICO			
Periodo	velocità [mm/y]	sigma [mm/y]	
30/01/2008 - 14/01/2011	-4.51	0.16	
14/01/2011 - 24/12/2014	-47.89	0.10	
24/12/2014 - 08/12/2017	-9.72	0.13	
08/12/2017 - 31/12/2021	-17.15	0.11	

Figura 12 - Campo di Barbara NW: analisi della serie storica di misure CGPS

CAMPO	Inizio produzione	Fine produzione (rif. ultimo profilo di produzione Mod. Eclipse)	Riserve prodotte @ dic.2021	Max subsidenza prevista (scenario di riferimento)	Ultimo aggiornamento studio geomeccanico	CGPS			
						inizio registrazione	vel.media (mm/a) @ dic.2020	vel.media (mm/a) @ dic.2021	Variazione velocità di subsidenza 2021 vs. 2020
ANEMONE	1978	2019	100%	-49cm al 2049	2019	2007	-4,54	-4,45	0,09
ANNALISA	2000	> 2021	101%	-9cm al 2027	2018	2007	-3,5	-3,08	0,42
ANNAMARIA B	2009	2038	86%	-138cm al 2051	2021	2005	-94,17	-87,78	6,39
BARBARA NW	1999	2026	97%	-66cm al 2023	2021	2008	-25,91	-25,05	0,86
BONACCIA	1998	2026	99%	-233cm al 2073	2018	2008	-64,94	-63,13	1,81
BONACCIA NW	2015					2015	-38,64	-35,18	3,46
CALIPSO	2002	2031	80%	-113cm al 2041	2021	2007	-13,51	-13,51	0
CALPURNIA	2000	2021	100%	-17cm al 2021	2021	2008	-0,44	-0,44	0
CLARA EST	2000	2042	72%	-112cm al 2050	2021	2007	-14,47	-14,39	0,08
CLARA NW	2016					2016	-23,78	-23,27	0,51
CLARA NORD	2000	2018	100%	-48cm al 2021	2021	2007	-16,35	-15,47	0,88
ELETTRA	2014	2027	87%	-27cm al 2041	2021	2014	-15,37	-13,18	2,19
FAUZIA	2014	2024	84%	-6cm al 2062	2021	2014	-3,65	-3,21	0,44
GUENDALINA	2011	2022	92%	-8,5cm al 2055	2018	2011	-6,1	-5,99	0,11
NAIDE	2005	2027	93%	-13cm al 2060	2021	2005	-3,58	-3,56	0,02
NAOMI - PANDORA	2001	2040	68%	-9cm al 2040	2022	2002	-2,13	-2,06	0,07
PCME (PCMS)	2001	2014	100%	-4,0cm al 2025	2020	2005	-3,8	-3,7	0,1
REGINA	1997	2022	100%	-131cm al 2053	2021	2007	-21,76	-20,67	1,09
TEA - LAVANDA - ARNICA	2007	2023	100%	-5cm al 2023	2019	2007	-3,55	-3,45	0,1

Figura 13 - Velocità medie di "subsidenza totale" calcolate su tutta la serie storica CGPS (agg. dic.2021). Dal confronto con i dati 2020 si nota come nel corso del 2021 tutte le velocità di subsidenza siano stabili o in diminuzione

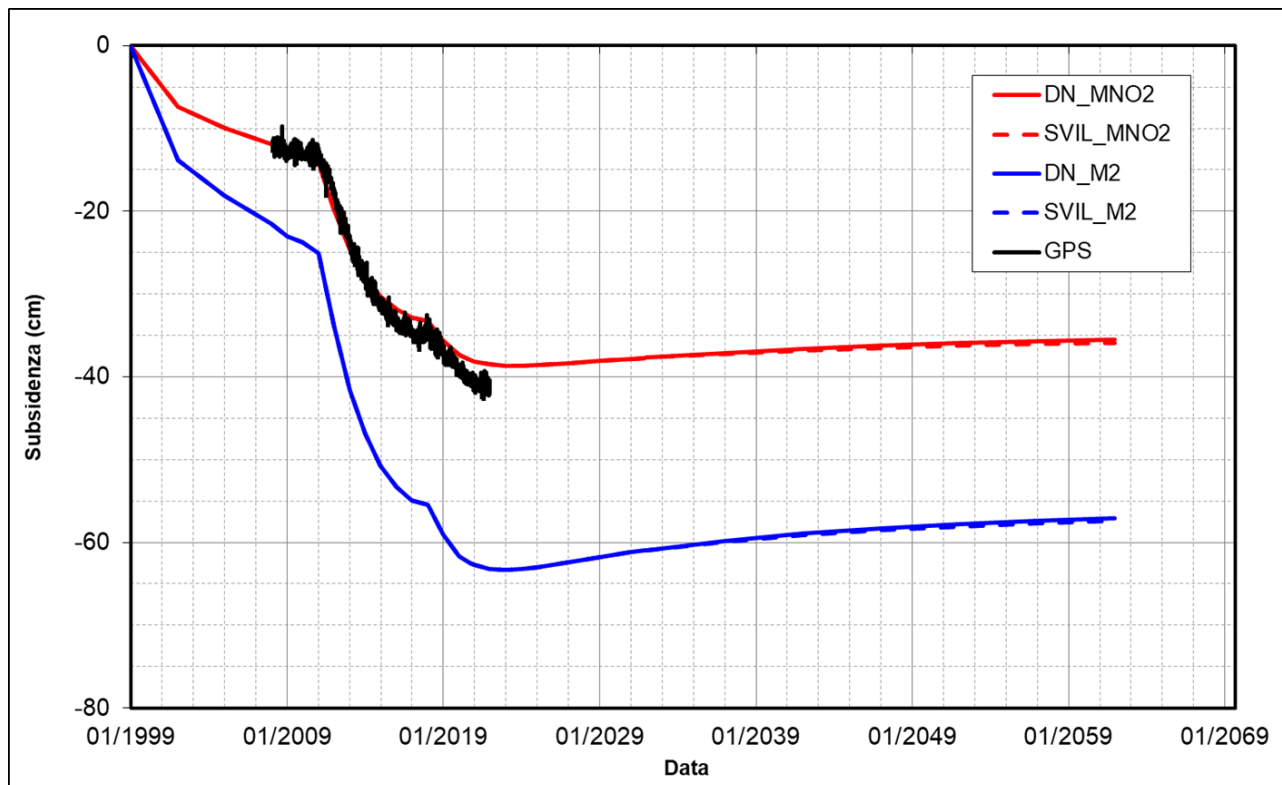


Figura 14 - Campo di Barbara NW: misure CGPS vs. previsioni di subsidenza da modello geomeccanico (in corrispondenza della piattaforma)

campo BARBARA NW (Eni 100%)			
DATI DI CAMPO		DECRETO VIA n. 3477 del 15 DICEMBRE 1998	
AGGIORNAMENTO MODELLO DI GIACIMENTO E SUBSIDENZA (BARBARA NW)		SIA	ULTIMO AGGIORNAMENTO
UBICAZIONE PROFONDITA' FONDALE		STUDIO DI GIACIMENTO MOD. STATICO E DINAMICO ECLIPSE 3D "SETT. '95"	
LITOLOGIA FORMAZIONE RESERVOIR ZONA MINERARIA PROFONDITA' RESERVOIR TIPO DI PIATTAFORMA CARATTERISTICHE GEOLOGICHE		Agg. studio giac. per studio geomecc., Doc. EORG N° UID=IPET-BE93C219-0 (gen 2021)	
offshore - 55 km a NE di Ancona 70 m		RISERVE (MSm ³) 2100	
silt-sabbie fini in livelli sottili Carola PLQ1- PLO		MOD. GEOMECCANICO CILINDRICO	
1000 - 1300 (TVDSS) fissa - standard TORBIDI SOTTILI		MAX SUBS AL CENTRO (cm) 18.6 (dopo 20 anni)	
		MINIMA DISTANZA DALLA COSTA (km) #	
		ELEMENTI FINITI (F.E.M.) @ marzo 2021 64 cm nel 2023 - scenari SVIL_M2/SVIL_MNO2	
		42 km @ 2068	
STATUS ATTUALE DEI MONITORAGGI			
CONCESSIONE DATA SCADENZA CONCESSIONE N. POZZI RISERVE TECNICHE A VITA INTERA (MSm ³) START UP PRODUZIONE FINE PRODUZIONE PREVISTA GAS PRODOTTO (MSm ³) % RISERVE PRODOTTE		LIVELLAZIONI ACQUISITI I DATI DI LIVELLAZIONE SUL TRATTO DI COSTA (DORSALE ADRIATICA - PESARO-PORTO S.GIORGIO) ANTISTANTE IL CAMPO NEL PERIODO 1998-2009, 2011, 2014, 2017 e 2020. LA CAMPAGNA DEL 2020 E' STATA CERTIFICATA DAL DICAM-UNIVERSITA' DI BOLOGNA. IL PROSSIMO RILIEVO DI ENTRAMBE LE RETI DI LIVELLAZIONE (DORSALE ADRIATICA E PESARO-PORTO S.GIORGIO) SARA' EFFETTUATO NEL CORSO DEL 2023 NEL TRATTO DI COSTA ANTISTANTE IL GIACIMENTO	
A.C.T.A.S. 12/11/2024 4 6 2100 set-99 2018 2026 2229 97%		MARKERS NON PRESCRITTI	
		CGPS NEL CORSO DEL 2007 E' STATO INSTALLATO UN CGPS IN PIATTAFORMA. NEL 2008 SONO STATI INSTALLATI 2 CGPS NELLE CENTRALI ENI DI FANO E FALCONARA (ONSHORE) NEL TRATTO DI COSTA ANTISTANTE LA PIATTAFORMA	
		SAR ACQUISITO AGGIORNAMENTO COPERTURA SAR @ DIC 2021 DEL TRATTO DI COSTA ANTISTANTE LA PIATTAFORMA PER ANALISI INTEGRATA DEI DATI ALTIMETRICI E PER L'INSERIMENTO DELLA P.MA BARBARA NW NEL PROGRAMMA DI MONITORAGGIO DELLA SUBSIDENZA. ATTUALMENTE IN CORSO IN MOLTI GIACIMENTI DELL'ADRIATICO	

Figura 15 - Campo di Barbara NW: scheda di sintesi dati campo

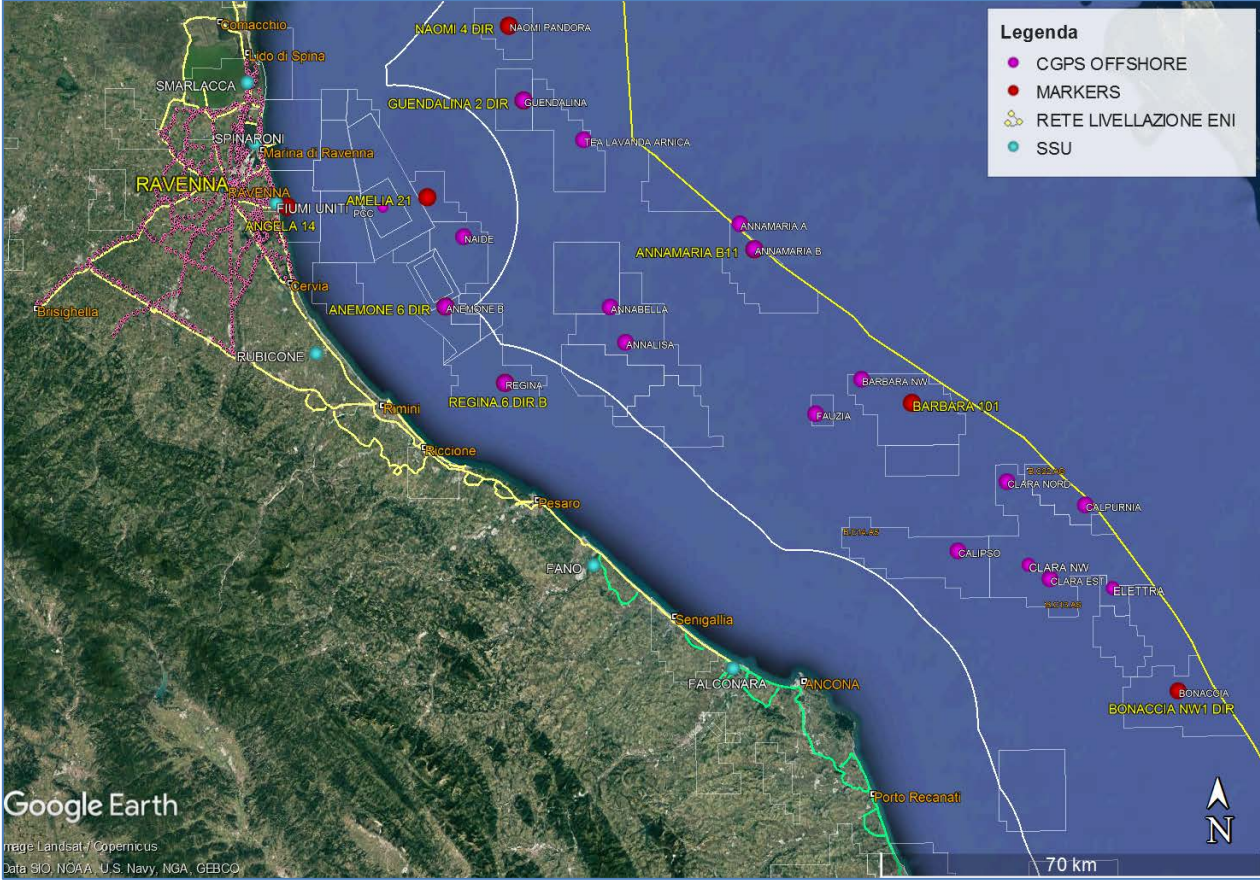


Figura 16 - Particolare della rete di monitoraggio Eni

Appendice A: aggiornamento dati SAR 2003-2021

Le elaborazioni dei dati InSAR per il periodo 2003 – 2021 sono state effettuate con lo stesso algoritmo utilizzato per le analisi dei dati dell’anno precedente.

In seguito, verrà descritto con maggior dettaglio l’algoritmo utilizzato (vedi nota a fondo paragrafo “Tecnica PSP-DIFSAR”), cercando di mettere in luce le differenze dei principali algoritmi utilizzati in interferometria radar.

Analisi dati InSAR 2003 – 2021

L’analisi dei dati SAR ha interessato una serie di data-set, elaborati in fase di processamento in modo tale da garantire continuità spaziale dei dati.

Da un’analisi delle differenze tra le velocità medie annuali misurate dai CGPS presenti nell’area di interesse e quelle dei PS (Permanent Scatterer) presenti in un intorno di circa 300 m di raggio centrato nel corrispondente CGPS (Tab. 1), si è scelto di accoppiare i data-set in 2 macro-aree, in modo tale che la taratura del dato InSAR minimizzi le differenze tra quest’ultimo e le misure CGPS. In Tab. 1 vengono presentate: le velocità verticali dei CGPS, V_{vert_CGPS} , e il corrispondente scarto quadratico medio sqm_CGPS (colonna 3 e 4); la media delle velocità verticali dei permanent scatterers nell’intorno avente come centro il CGPS corrispondente $Media_V_SAR$, e il corrispondente scarto quadratico medio sqm_SAR (colonna 5 e 6); la differenza tra le velocità CGPS e SAR e il relativo scarto quadratico medio (colonne 7 e 8). Tutte le misure sono in millimetri/anno.

	CGPS	V_{vert_CGPS} [mm/yr]	sqm_CGPS [mm/yr]	$Media_V_SAR$ [mm/yr]	sqm_SAR [mm/yr]	$Diff_VEL$ $CGPS-SAR$ [mm/yr]	sqm_diff [mm/yr]
RAVENNA	SMARLACCA	-6,02	0,01	-3,02	2,07	-3,00	2,08
	SPINARONI	-6,91	0,01	-3,72	1,89	-3,19	1,93
	FIUMI UNITI	-13,15	0,02	-10,38	5,78	-2,77	5,80
FANO-AN- CONA	RUBICONE	-2,21	0,03	-2,91	1,94	0,70	1,97
	FANO	-0,2	0,02	0,12	0,87	-0,32	0,89
	FALCONARA	-0,3	0,02	-0,18	1,39	-0,12	1,41
	ITALGAS	-0,09	0,02	0,30	1,09	-0,39	1,11

Tab. 1. Taratura dato InSAR con misure CGPS

Come si può vedere in Tab. 1, le differenze di velocità tra dati CGPS e le velocità medie dei dati InSAR rappresentati nella penultima colonna hanno andamenti diversi nell'intera area, con differenze che si aggirano intorno a 2.98 mm/anno di media per i primi 3 CGPS, mentre per gli ultimi 4 CGPS si notano differenze medie intorno a -0,03 mm/anno.

Di conseguenza si è scelto di raggruppare i diversi data-set in due macro-aree (Fig. 1):

1. Area di Ravenna
2. Area di Fano-Ancona

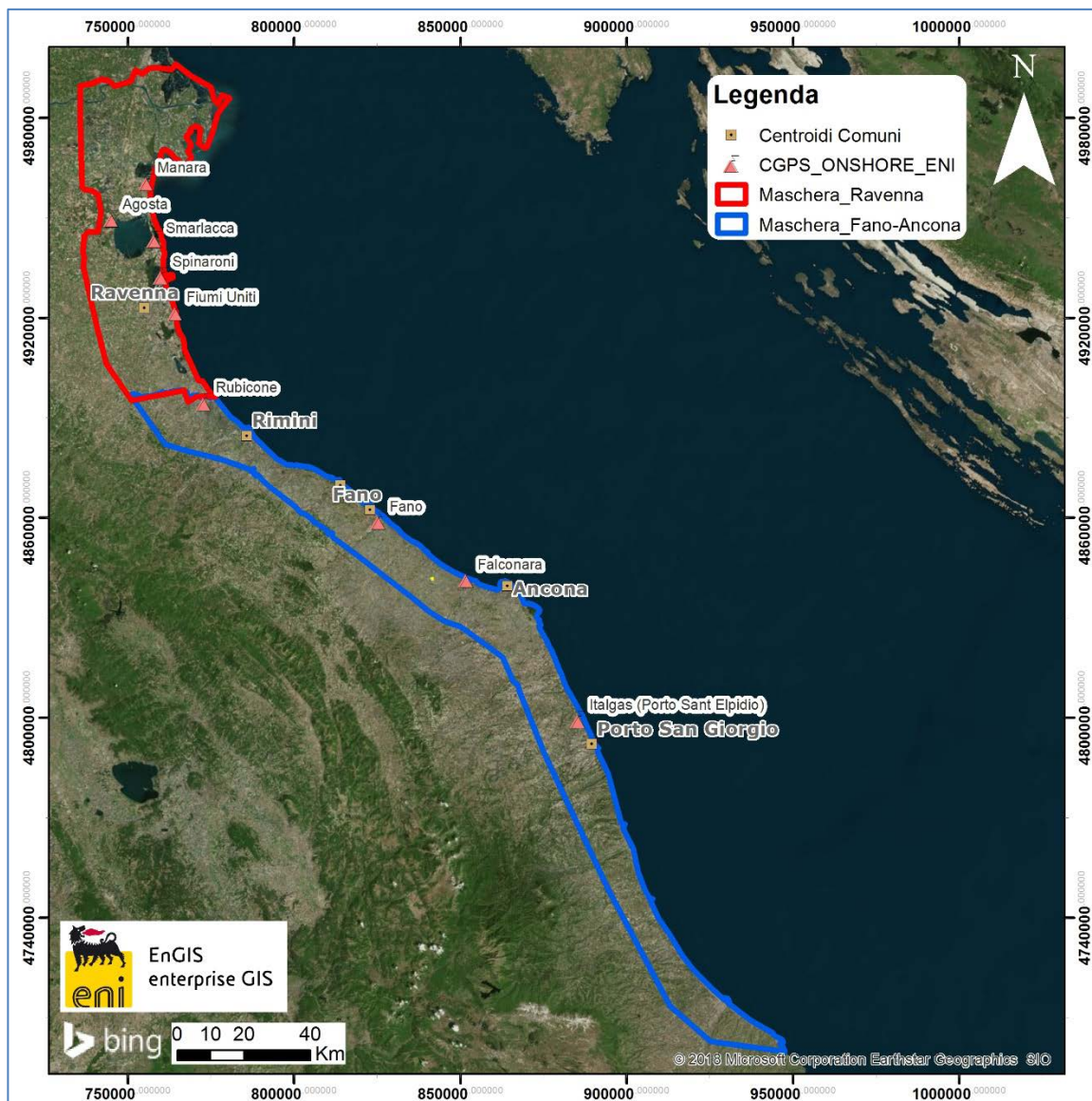


Fig. 1 – Mappa mosaicultura dati InSAR

 Eni S.p.A.	Campo di BARBARA NW novembre 2022	Documento GEODCS_REL2022_BNW	Page - 25 - of 63
---	--------------------------------------	---------------------------------	-------------------

Complessivamente risultano presenti le seguenti stazioni CGPS afferenti alla rete Eni:

1. **Area Ravenna:** Smarlacca, Spinaroni, Fiumi Uniti
2. **Area Fano-Ancona:** Rubicone, Fano, Falconara, Italgas

Il processo di calibrazione è stato realizzato utilizzando le informazioni derivanti dalle stazioni di monitoraggio CGPS esistenti all'interno delle aree analizzate, partendo dalle stazioni che presentano una serie storica più consistente (Smarlacca, Spinaroni e Fiumi Uniti).

Si è realizzata quindi la calibrazione dei dati SAR partendo dall'area più a nord (area Ravennate), utilizzando i dati di velocità della stazione di Smarlacca; i dati delle stazioni di Fiumi Uniti e di Spinaroni sono stati utilizzati esclusivamente come valore di verifica dei risultati ottenuti con la calibrazione.

La determinazione delle velocità verticali con dati CGPS è stata calcolata sulla serie storica totale del dato, che per quanto riguarda le postazioni di Smarlacca, Spinaroni e Fiumi Uniti ha un inizio di acquisizione leggermente anteriore rispetto a quello dei dati SAR. Queste velocità così calcolate hanno una differenza sotto il decimo di millimetro/anno, rispetto a quelle calcolate sullo stesso periodo di acquisizione, da considerarsi pertanto trascurabile ai fini di questo studio. L'analisi dei dati SAR non calibrati, relativi all'area Ravennate nell'intorno della stazione CGPS di Smarlacca per un raggio di 300 metri, ha evidenziato una velocità media pari a $-3,02 \pm 2,07$ mm/anno. Considerando la velocità determinata con il CGPS di $-6,02 \pm 0,01$ mm/anno, si rileva una differenza di $-3,00 \pm 2,08$ mm/anno. Per questo motivo ai valori di velocità media della componente verticale determinata con il monitoraggio SAR, è stato aggiunto il valore di $-3,00 \pm 2,08$ mm/anno. Successivamente sono stati confrontati i punti SAR, che ricadevano in un intorno di raggio pari a 300 m, rispetto ai CGPS di Fiumi Uniti e Spinaroni. Il confronto mostra delle differenze, tra i singoli CGPS e i dati SAR calibrati, sotto il millimetro: ciò conferma la validità della calibrazione effettuata.

In Fig. 2 si possono visualizzare i dati InSAR ottenuti a valle del processo di calibrazione, interpolati con un algoritmo di IDW (Inverse Distance Weighted) con Tool ArcGis Spatial Analyst® per l'area di Ravenna nel tratto di costa da Porto Tolle a Cesenatico.

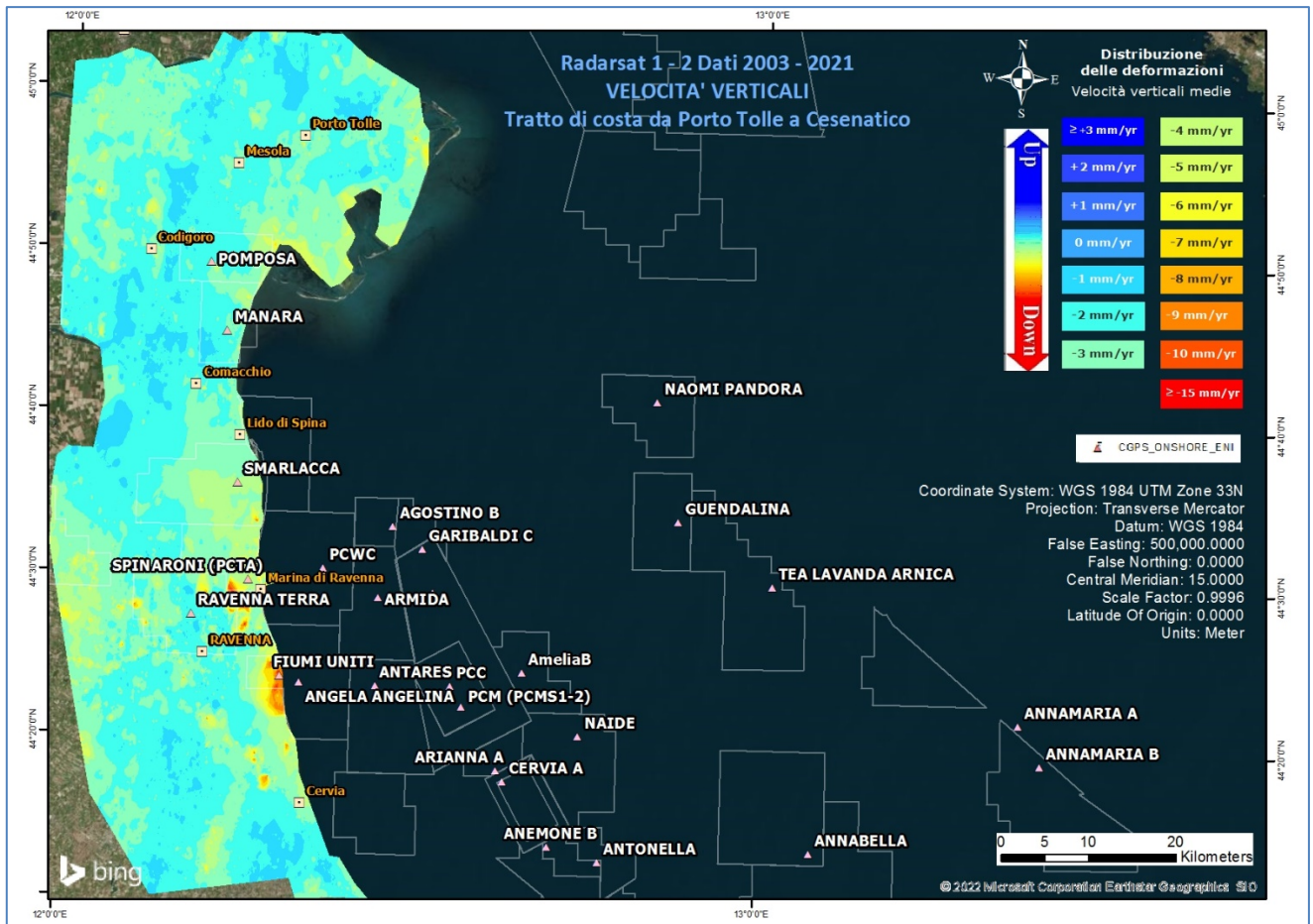


Fig. 2 - Interpolazione IDW (Inverse Distance Weighted) dei dati Radarsat 1 -2, per il periodo 2003 – 2021, con Tool ArcGis Spatial Analyst®. Tratto di costa da Porto Tolle a Cesenatico.

Come già effettuato precedentemente, il data set dell'area di Fano-Ancona (Fig. 1) verrà analizzato separatamente dall'area Ravennate in quanto è stata rilevata una coerenza delle misure SAR con le misure delle stazioni CGPS interne a ciascun'area.

Analizzando l'area SAR di Fano-Ancona, si evidenzia come le velocità dei CGPS di Rubicone, Fano, Falconara e Italgas siano allineate con le velocità misurate dal SAR, con una differenza inferiore a 1 mm (Tab. 1). Si fa presente che per il confronto viene considerato un intorno di circa 300 m di raggio, e la velocità dei dati SAR è una media delle velocità verticali dei Permanent Scatterer (PS) che ricadono all'interno di questo intorno. Considerata la differenza tra il valore misurato dal CGPS di FANO e quella del dato SAR

(-0,32 ± 0,89 mm/anno), non si è ritenuto necessario eseguire una calibrazione. Come è possibile notare in Tab.1 per i vari CGPS presenti nell'area, il confronto mostra delle differenze rispetto ai dati SAR puri di circa 0,03 mm/anno in media.

In Fig. 3 è visualizzata l'interpolazione dei dati raggruppati, per l'area Fano-Ancona nel tratto di costa da Rimini ad Ortona. L'interpolatore utilizzato è l'algoritmo di IDW (Inverse Distance Weighted) con Tool ArcGis Spatial Analyst®.

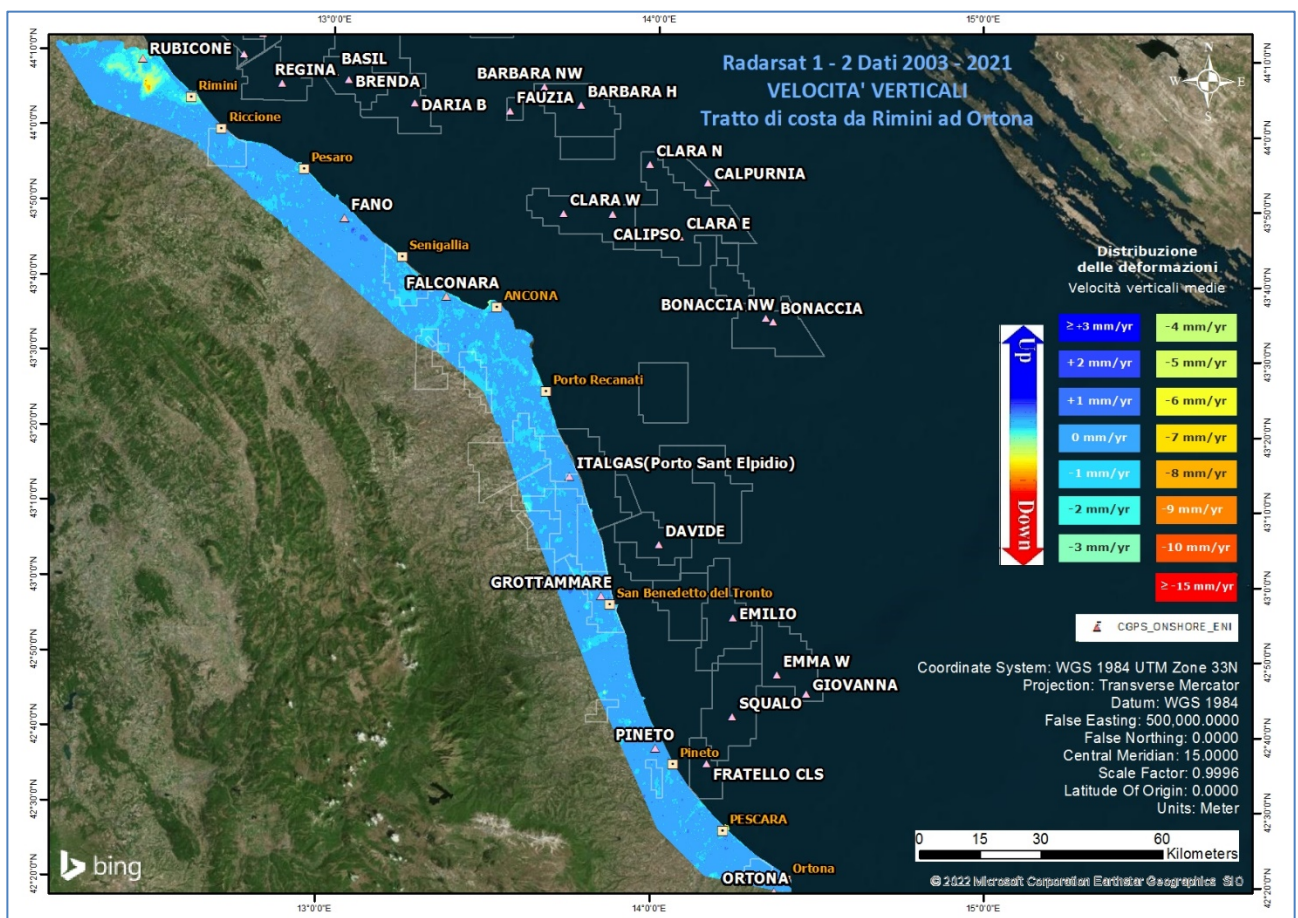


Fig. 3 - Interpolazione IDW (Inverse Distance Weighted) dei dati Radarsat 1-2, per il periodo 2003 – 2021 Tratto di costa da Rimini ad Ortona, con Tool ArcGis Spatial Analyst®.

Confronto dati SAR 2003 – 2020 vs 2003 – 2021

Il processo di sottrazione tra IDW 2020 e IDW 2021 permette di evidenziare graficamente eventuali differenze nell'andamento medio delle velocità verticali.

Come mostrato in Fig. 4 e Fig. 5 la sottrazione tra i due IDW non mostra differenze importanti, ed in ogni caso rientranti all'interno della deviazione standard dichiarata. Per quanto riguarda punti spot che mostrano differenze più marcate si è riscontrato come si tratti di aree di recente edificazione, o zone in cui i dati SAR sono assenti o molto esigui, per cui l'interpolazione IDW ha generato un dato non attendibile per un anno o il successivo, da cui derivano differenze non realistiche.

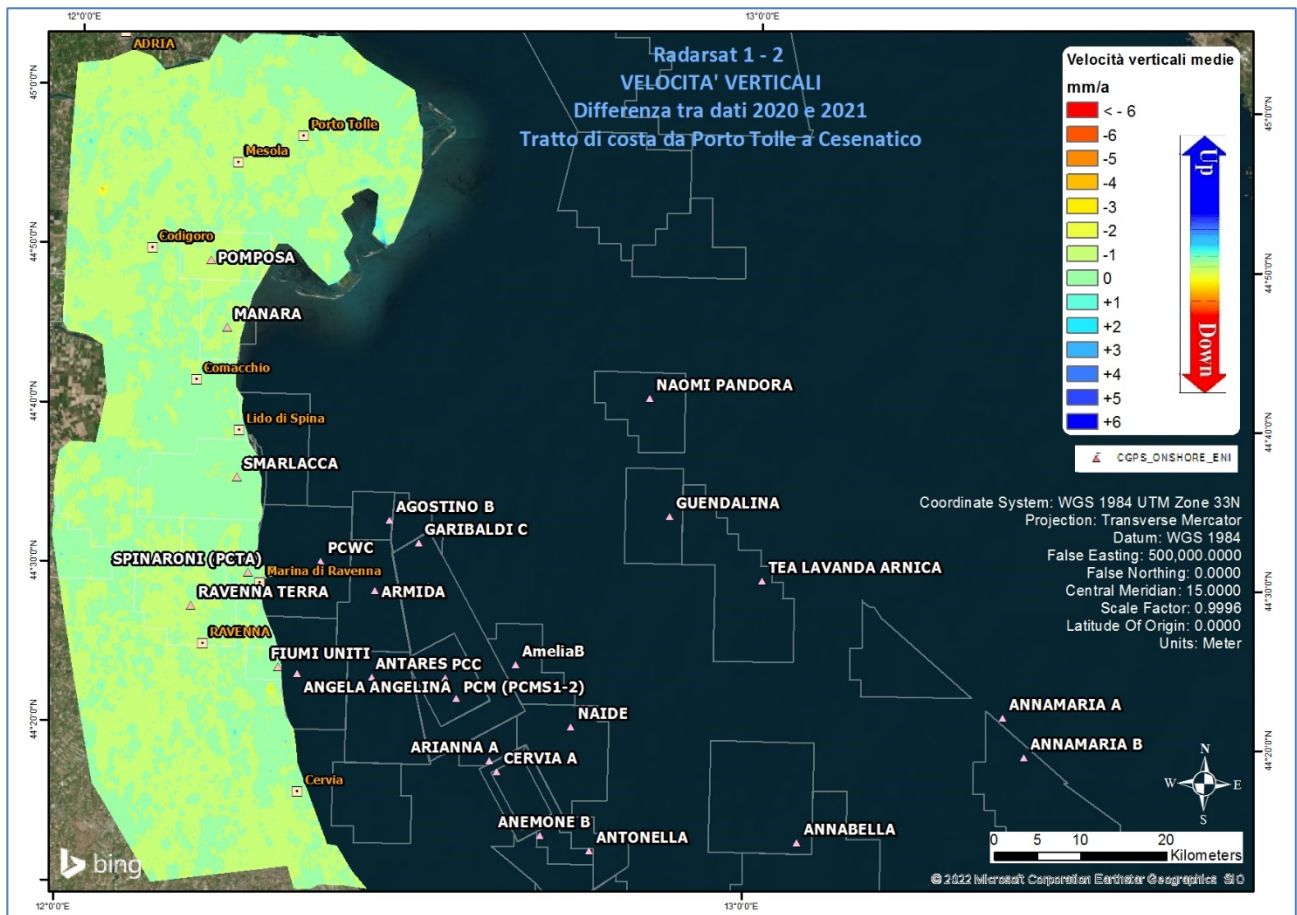


Fig. 4 – Mappa delle differenze prodotta tra il database 2003 – 2020 e il 2003 - 2021, utilizzando il Tool Math – Spatial Analyst® di ArcGIS™. Tratto di costa da Porto Tolle a Cesenatico.

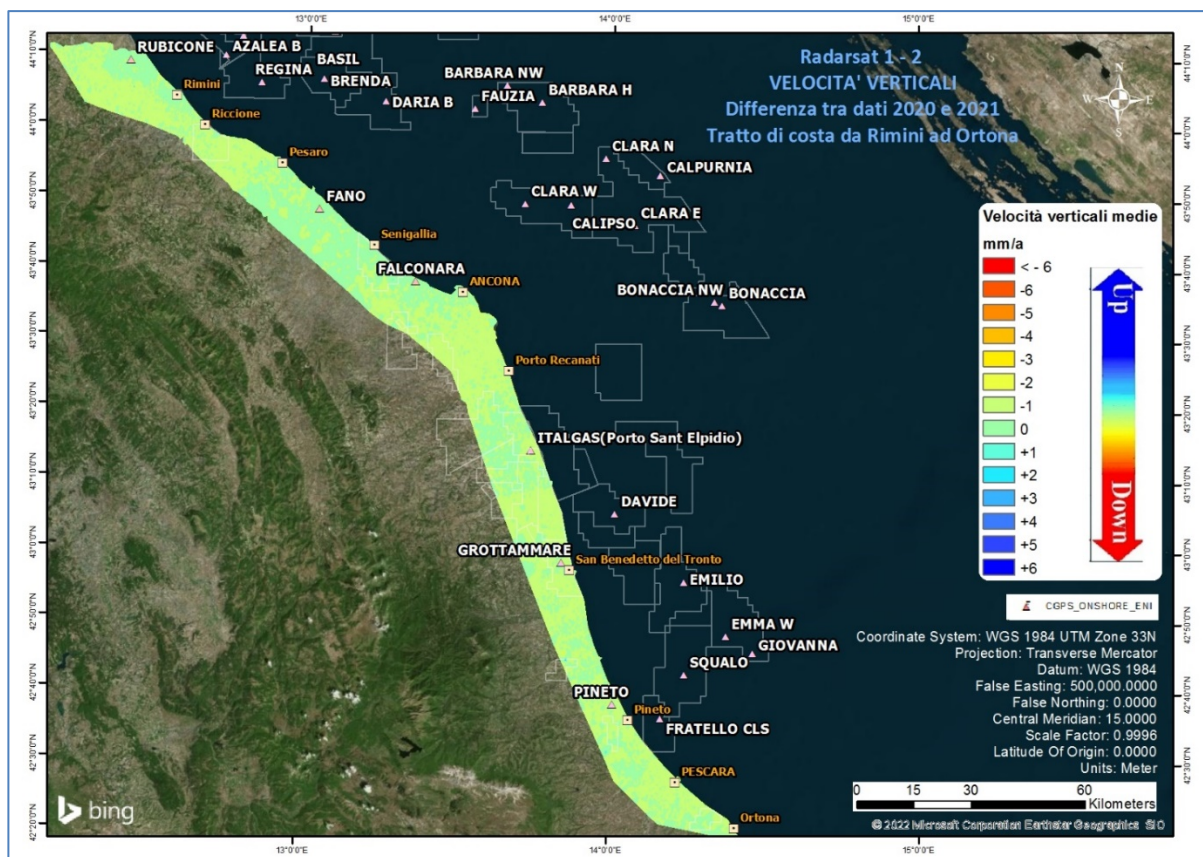


Fig. 5 – Mappa delle differenze prodotta tra il database 2003 – 2020 e il 2003 - 2021, utilizzando il Tool Math – Spatial Analyst® di ArcGIS™. Tratto di costa da Rimini a Ortona.

Tecnica PSP-DIFSAR (Estratto dalle Linee guida MATTM 2009)

La tecnologia interferometrica PSP-DIFSAR sviluppata da Telespazio/e-GEOS (<http://www.telespazio.it> / <http://www.e-geos.it>) è una tecnica d'interferometria differenziale SAR di tipo Persistent Scatterer Interferometry (PSI) che utilizza una procedura algoritmica proprietaria per l'individuazione e l'analisi dei Persistent Scatterers (PS) su lunghe serie di immagini SAR (radar ad apertura sintetica), allo scopo di misurare movimenti lenti del terreno dovuti a frane, subsidenza, fenomeni vulcanici e sismici (Costantini et al., 2005). I PS corrispondono generalmente ad elementi al suolo, come manufatti (ad esempio, parti di edifici, antenne, tralicci, elementi metallici in genere) oppure corpi naturali (ad esempio, rocce esposte) che si distinguono dagli altri, presenti nell'area esaminata, per il fatto di possedere un'elevata stabilità nel tempo della cosiddetta "firma radar". Questi punti presentano caratteristiche tali da permettere misure estremamente accurate della distanza sensore-bersaglio così da

 Eni S.p.A.	Campo di BARBARA NW novembre 2022	Documento GEODCS_REL2022_BNW	Page - 30 - of 63
---	--------------------------------------	---------------------------------	-------------------

poter evidenziare spostamenti relativi dei PS nel tempo anche solo di pochi millimetri. L'interferometria differenziale si basa su un sensore SAR a bordo di un satellite che invia un impulso elettromagnetico verso la superficie terrestre e riceve il segnale retrodiffuso. Misurando il ritardo di fase tra il segnale inviato e quello retrodiffuso si può determinare con estrema precisione la distanza tra il sensore ed il bersaglio. Se l'oggetto si trova in un'area soggetta a fenomeni di deformazione superficiale, il sensore, passando in istanti successivi sulla stessa area di interesse, rileva tra un'acquisizione e l'altra una variazione di distanza. Questo dato, dopo una complessa elaborazione per l'identificazione dei punti di misura e la rimozione dei contributi spuri (ritardi atmosferici, imprecisione nella conoscenza delle orbite, ecc.), rende possibili misure estremamente accurate di eventuali spostamenti superficiali lenti dell'area di interesse. Una delle peculiarità del metodo PSP è quella di sfruttare solo le proprietà del segnale relative a coppie di punti vicini, sia per identificare sia per analizzare i Persistent Scatterers. Infatti, due punti vicini sono affetti allo stesso modo da artefatti atmosferici ed orbitali, ed in generale da tutti i contributi correlati spazialmente (anche i movimenti non lineari nel tempo). Il metodo PSP presenta le seguenti differenze rispetto alle tecniche PSI standard:

- non richiede calibrazione dei dati o interpolazioni basate su modelli (in particolare per la rimozione degli artefatti atmosferici ed orbitali);
- è meno sensibile alla densità dei PS;
- permette una migliore identificazione di PS in terreni naturali e di PS caratterizzati da movimenti non lineari nel tempo;
- in aggiunta è computazionalmente efficiente ed altamente parallelizzabile.

La densità dei PS individuati è solitamente molto elevata in corrispondenza dei centri urbani e di aree rocciose mentre è praticamente nulla nelle zone vegetate o perennemente innevate. L'insieme dei PS sul territorio costituisce una rete naturale di "capisaldi radar", concettualmente analoga ad una rete di stazioni GPS (Global Positioning System) permanente. La loro densità su scala regionale è però ordini di grandezza superiore a quanto ottenibile con reti geodetiche convenzionali, fornendo un quadro d'insieme a costi decisamente più bassi rispetto a queste, dato che il sensore rileva punti di misura che non richiedono alcun intervento di installazione e manutenzione trovandosi già sul terreno.

Appendice B: Stazioni *EPSU* lungo la fascia costiera compresa tra Cervia e Ancona - aggiornamento a dicembre 2021

Il monitoraggio della compattazione superficiale lungo la fascia costiera adriatica compresa tra Cervia e Ancona, è effettuato tramite 3 stazioni *EPSU* (Extensometric Piezometric Survey Unit) denominate: Rubicone, Fano e Falconara. L'ubicazione di tali stazioni, installate tra il 2008 e il 2009, è riportata in Figura 1B.

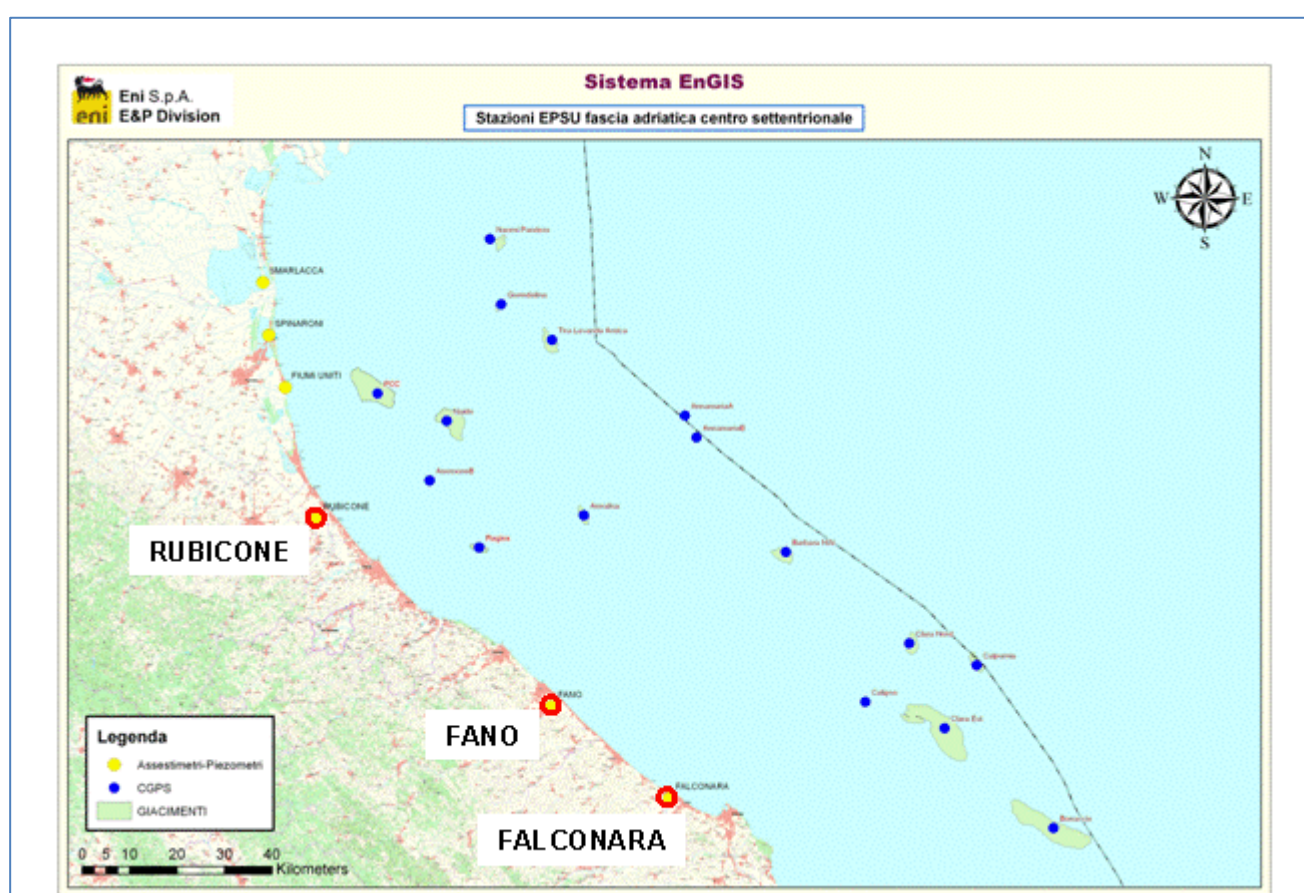


Figura 1B - Ubicazione delle stazioni *EPSU*

In generale una stazione *EPSU* è costituita da un assestometro, associato a uno o più piezometri, con il corredo di strumentazione meteorologica per la misura della temperatura e della pressione atmosferica (termometri sia in foro che in superficie, e un barometro in modo da compensare le misure assestimetriche e piezometriche per le variazioni rispettivamente della temperatura e pressione atmosferica) come schematicamente rappresentato in Figura 2B.

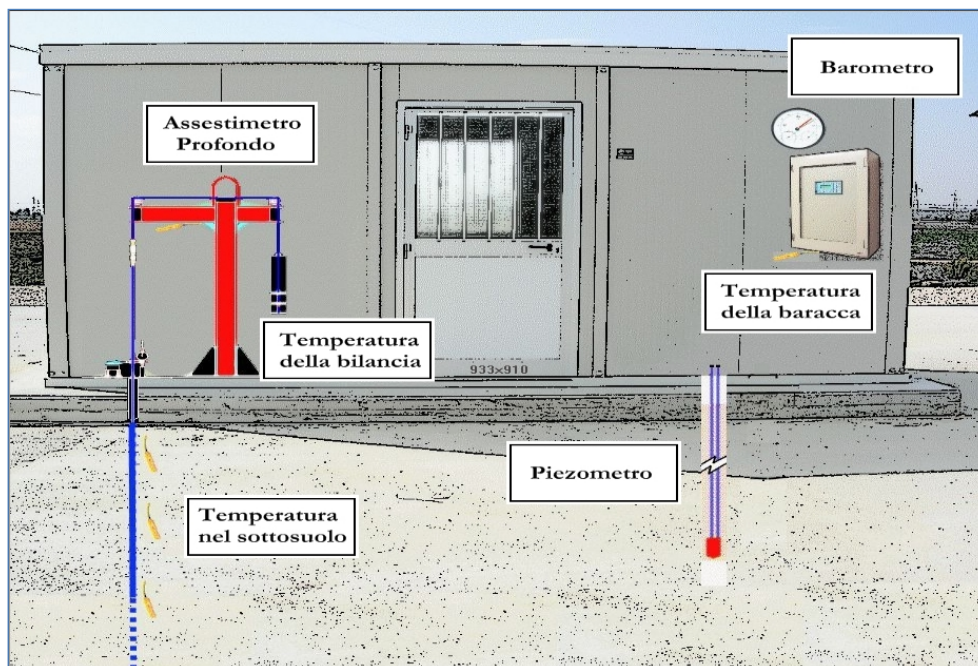


Figura 2B - Rappresentazione schematica di una stazione EPSU

Più in dettaglio, nelle 3 stazioni *EPSU* sono stati installati i seguenti dispositivi di misura:

Località	Pozzo	Strumentazione	Profondità (da P.C.)	Data d'installazione
Rubicone	CGRA-1	Assestimetro profondo	320 m	Gen. 2009
	CGRP-1	Piezometro cella singola	178 m	Gen. 2009
	CGRP-2	Piezometro cella doppia	146 m e 70 m	Gen. 2009
Fano	CGFNA-1	Assestimetro superficiale	40,8 m	Lug. 2008
	CGFNP-1	Piezometro superficiale	6,1 m	Lug. 2008
Falconara	CGFLA-1	Assestimetro superficiale	40,3 m	Lug. 2008
	CGFLP-1	Piezometro cella singola	21 m	Lug. 2008

Per ciascuna stazione *EPSU* vengono di seguito presentati:

1. le principali caratteristiche;
2. grafici con tutti i dati registrati.

N.B.: Nella lettura dei dati riportati sui grafici relativi agli assestimetri, i valori positivi costituiscono la componente della compattazione (riduzione dello spessore dello strato di sottosuolo attraversato dall'assestimetro); al contrario i valori negativi costituiscono la componente dell'espansione (aumento dello spessore dello strato di sottosuolo attraversato dall'assestimetro).

 Eni S.p.A.	Campo di BARBARA NW novembre 2022	Documento GEODCS_REL2022_BNW	Page - 33 - of 63
---	--------------------------------------	---------------------------------	-------------------

Stazione *EPSU* di RUBICONE (installata dicembre 2009)

Le coordinate WGS84 della stazione sono: 44°09' 6.76"N e 12° 24' 36.37"E.

La stazione è ubicata, ad una altitudine di 6 ms.l.m., a circa 3.5 Km a sud-ovest dell'abitato di Gatteo a Mare (FC), lungo il corso della sponda nord del fiume Rubicone ed all'interno della centrale gas Eni denominata "Rubicone".

Strumentazione:

- assestimetro - quota bottom: 320 m da p.c.
- piezometro singolo - quota cella: 178 m da p.c.
- piezometro doppio - quota celle: 146 e 70 m da p.c.

La strumentazione messa in opera nella stazione è illustrata schematicamente nelle Figure 4B e 5B mentre la Figura 6B presenta in dettaglio la litologia dei terreni attraversati dal pozzo assestimetrico e dalle 2 verticali piezometriche.

La raccolta dati è iniziata l'8 aprile 2009.

A tale data (in occasione del collaudo) è stato fatto "lo zero" dei sensori di misura.

I dati sono stati acquisiti con regolarità secondo la seguente frequenza:

- 08 aprile 2009 - 22 maggio 2009: una misura ogni ora;
- 22 maggio 2009 - 2 novembre 2009: una misura ogni 2 ore;
- dal 02 novembre 2009 ad oggi: una misura ogni 6 ore.

Le misure sono state fatte con alimentazione a batteria fino al 22 maggio 2009. Da tale data fino al 14 luglio 2009 non si hanno registrazioni a causa dei lavori di messa a norma della baracca secondo la normativa ATEX. Dal 14 luglio è ripreso il normale ciclo di funzionamento della stazione. Nel 2011 c'è da segnalare un blackout di dati per mancanza di alimentazione dell'apparecchiatura tra il 29 settembre e il 14 ottobre.

A dicembre 2017 è stata fatta manutenzione straordinaria dei tre piezometri con spurgo e lavaggio dei piezometri della stazione. Per i due piezometri ubicati sulla stessa verticale - quello superficiale e l'intermedio (70 e 146 m da p.c.) - il lavaggio con acqua in pressione ha consentito di escludere che vi fosse comunicazione idraulica fra gli stessi. Le celle e i tubi di tutti e tre i piezometri (tipo Casagrande) sono risultati perfettamente integri: le letture manuali,

 Eni S.p.A.	Campo di BARBARA NW novembre 2022	Documento GEODCS_REL2022_BNW	Page - 34 - of 63
---	--------------------------------------	---------------------------------	-------------------

effettuate subito dopo lo spurgo e durante la fase di ricarica della falda, sono risultate attendibili presentando per tutti i piezometri un dislivello massimo tra i due tubi compreso tra 0 e 1 cm. Tutti i piezometri revisionati sono risultati integri e affidabili per restituzione dei dati. A giugno 2018 è stato sostituito un trasduttore di pressione del piezometro a 178 m.

Verso la fine del 2021 nelle giornate 01 e 02 dicembre è stata effettuata un'attività di lavaggio e spurgo dei 3 piezometri del sito, con anche un controllo generale della strumentazione. Dopo il lavaggio, di ogni singolo piezometro, sono state eseguite le prove di dissipazione dell'acqua immessa (carico idraulico) nei piezometri, durante l'attività di spurgo e lavaggio. Con queste prove si è potuto verificare il corretto funzionamento delle celle filtranti, attraverso una serie di misure manuali (con freatimetro), durante la fase di deflusso dell'acqua, rilevando il tempo necessario al ristabilirsi del livello di falda, che era stato misurato prima e poi dopo l'attività di pulizia dei piezometri.

La misura è stata effettuata in entrambi i tubi delle celle "Casagrande".

Tutti e 3 i piezometri sottoposti a manutenzione sono risultati fisicamente integri e attendibili al fine della restituzione dati. Durante l'esecuzione del lavaggio sui due piezometri installati nello stesso foro (-70 m e -146 m), sono state eseguite misure con freatimetro all'interno di un tubo del piezometro profondo (-146 m) durante il lavaggio del superficiale e viceversa durante il lavaggio del piezometro profondo, senza mai notare nessuna interferenza o variazione dei livelli di falda, potendo così escludere comunicazione idraulica tra le due verticali piezometriche. Da segnalare che al termine delle operazioni di spurgo/lavaggio il piezometro a -70 m ha evidenziato un livello dell'acqua a bocca tubo "quasi statico", con dissipazione praticamente assente nelle ore immediatamente successive al lavaggio (Figura 3B), gli altri 2 piezometri hanno ristabilito quasi immediatamente il loro livello piezometro di "pre-lavaggio". Nel pozzo piezometrico a 178 m di Figura 3B vengono indicati anche i livelli piezometrici (178.1 m e 178.2 m) di entrambi i trasduttori di pressione installati nei due tubi dello stesso piezometro. Il piezometro a -70 m, anche in attività di pulizia effettuate negli anni passati, ha sempre presentato il medesimo comportamento ossia un maggiore ritardo nel ristabilire il livello piezometrico originario; probabilmente il livello freatico -70 m ha un livello di permeabilità molto più basso degli altri due acquiferi monitorati.

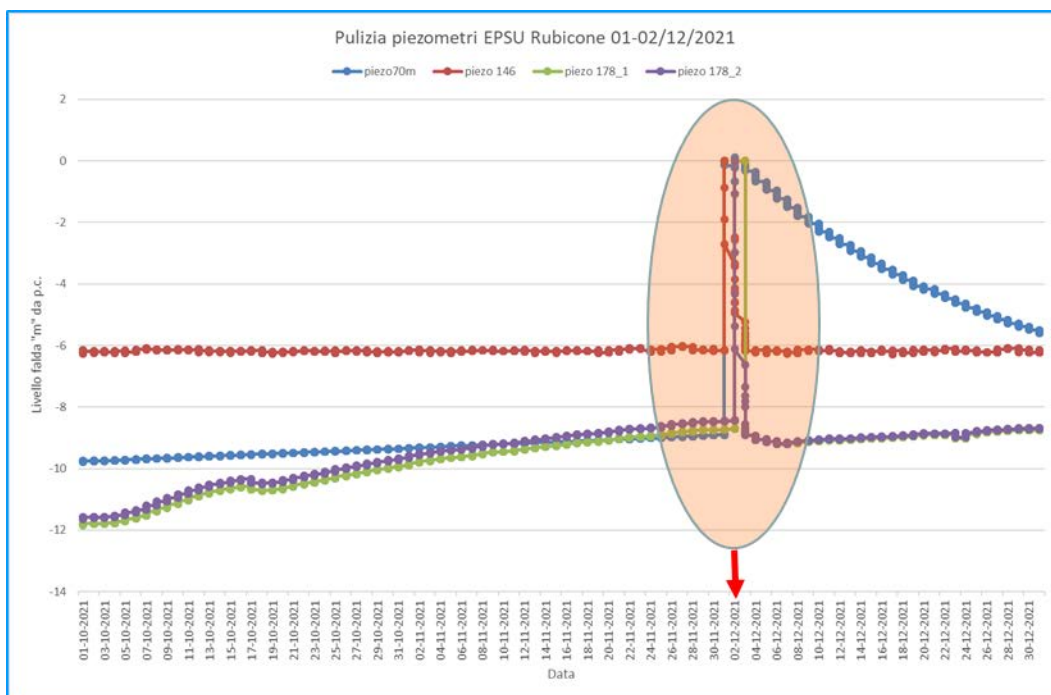


Figura 3B – Andamento livello piezometrico dei piezometri pre e post lavaggio. Da notare il comportamento del piezometro a -70 m che ristabilisce il suo livello piezometrico più lentamente rispetto agli altri 2.

Per tutto il 2021 la strumentazione ha funzionato correttamente e non sono presenti lacune nelle serie dei dati registrati.

Nel corso del 2020 e del 2021, a causa della situazione pandemica è stato possibile effettuare un solo controllo generale della strumentazione in data 02 agosto 2021, in cui sono stati fatti i controlli manuali e la taratura di tutti i sensori.

Analisi dei dati assestimetrici

L'assestometro misura la compattazione degli strati di terreno compresi tra il piano campagna (p.c.) e il punto più profondo d'ancoraggio dello strumento (320 m da p.c.).

Nei grafici allegati (Figura 7B) sono riportati per un confronto sia i dati assestimetrici sia quelli piezometrici; nello stesso grafico è riportato anche l'andamento della pressione atmosferica, i cui dati sono stati utilizzati per depurare i valori delle quote piezometriche. I dati relativi all'assestometro sono espressi in millimetri e riportano gli spostamenti misurati rispetto a un valore base iniziale ("misura di zero").

Tale misura è quella dell'8 aprile 2009, data di collaudo del sistema.

 Eni S.p.A.	Campo di BARBARA NW novembre 2022	Documento GEODCS_REL2022_BNW	Page - 36 - of 63
---	--------------------------------------	---------------------------------	-------------------

I valori positivi degli spostamenti nel grafico dell'assestometro indicano una compattazione, quelli negativi, viceversa, un incremento dello spessore (cioè espansione) degli strati di terreno monitorati. Lo strumento ha sempre segnato un andamento stagionale estremamente regolare, con un decremento delle misure da ottobre a aprile dell'anno successivo (massima espansione), una ripresa delle misure da aprile fino ad ottobre (massima compattazione) per poi decrescere di nuovo. Questo andamento è stato registrato in tutti gli anni di osservazione, ma con pendenze delle curve e, quindi, con velocità di incremento e/o decremento, variabili di anno in anno; l'ultimo anno non fa eccezione (Figure 8B e 9B).

Nel caso della stazione di Rubicone, l'andamento nel tempo della curva di compattazione/espansione registrata dall'assestometro si correla molto bene con le variazioni di livello dell'acqua nelle tre falde monitorate dai piezometri rispettivamente a 70 m, 146 m e 178 m di profondità. Per tutto il periodo osservato si nota, infatti, un ritardo medio di circa 1÷1.5 mesi nella espansione/compattazione del terreno rispetto all'escursione massima (marzo/aprile) e minima (agosto/settembre) dei livelli di tali falde Figura 8B e Figura 9B (confronto delle misure piezometrica profonda e assestometrica dell'ultimo anno).

Analisi dei dati piezometrici

Nei grafici dei piezometri (Figura 7B) l'ordinata è la quota piezometrica (m), ovvero la profondità del livello dell'acqua all'interno del tubo piezometrico riferita al piano campagna. Nello stesso grafico (come seconda ordinata) è riportato il valore della pressione barometrica. Nella Figura 8B è stata eliminata l'informazione della pressione barometrica e si può meglio apprezzare l'elevata correlazione tra le pulsazioni del terreno, registrate dall'assestometro, e la dinamica annuale delle falde freatiche, che accanto alla componente naturale sembra essere l'unica responsabile della compattazione totale registrata nell'area e localizzata quasi esclusivamente nella parte superficiale di terreno indagata dall'assestometro.

Nel caso di Rubicone si notano delle effervescenze gassose nei tubi piezometrici causate dalla presenza di piccole quantità di gas nell'acqua; il fenomeno era già stato osservato durante le operazioni di messa in opera dell'attrezzatura. Queste piccole effervescenze causano differenze di misura dei livelli d'acqua nei due tubi del piezometro profondo (pozzo CGRP-1 – vedi tabella di pagina 34). Nel mese di ottobre 2012 sono stati puliti e controllati i 3 piezometri, verificando il loro buon funzionamento. Un nuovo spurgo è stato fatto a fine settembre

2014 e si può osservare dai grafici dei piezometri, soprattutto per la curva relativa a quello superficiale, che a partire da tale data si è modificata la dinamica dell'escursione del livello dell'acqua.

A dicembre 2017 è stata fatta una manutenzione straordinaria con spurgo e lavaggio dei tre piezometri con controllo di tutti i trasduttori di pressione.

A dicembre 2021 è stata effettuata una nuova attività di spurgo e pulizia dei piezometri.

Tutti e 3 i piezometri sottoposti a manutenzione sono risultati fisicamente integri e attendibili al fine della restituzione dei dati. Nell'occasione sono stati ritirati tutti i trasduttori di pressione, la cui affidabilità è stata accertata facendo diverse misure manuali con freatimetro.

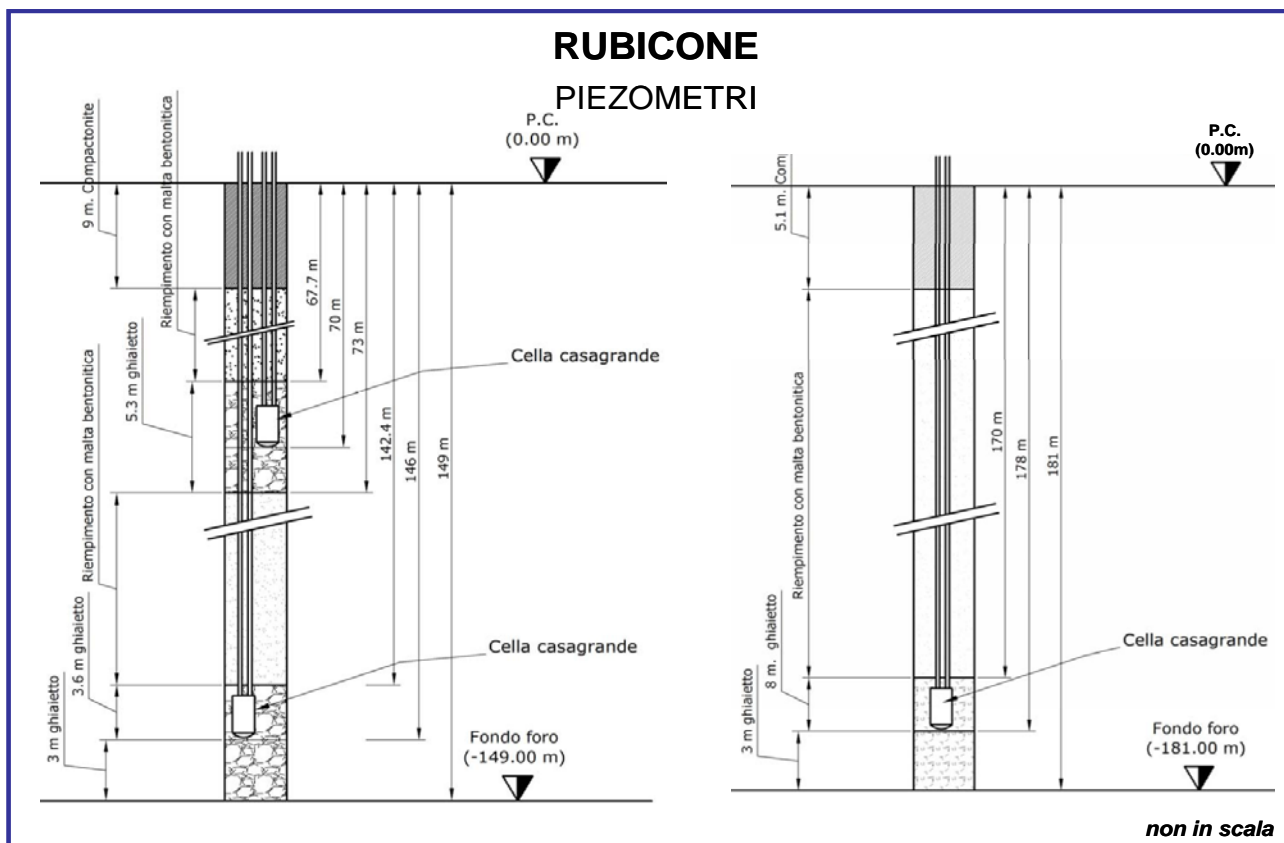


Figura 4B - Schema della stazione EPSU di Rubicone

RUBICONE ASSESTIMETRO

- Modello di assestimetro costituito da 49 aste in ferro da 6m ed ultimi 10m da aste in Invar con 12 giunti telescopici e con boccole a scorrimento assiale.
- Ancoraggio base assestimetro a 320m da p.c. .
- La forza imposta dal sistema a bilanciere sull'asta di misura ha direzione verticale verso l'alto e modulo di poco superiore al peso proprio della batteria d'asta, peso aste 397Kg, peso zavorra 427Kg.

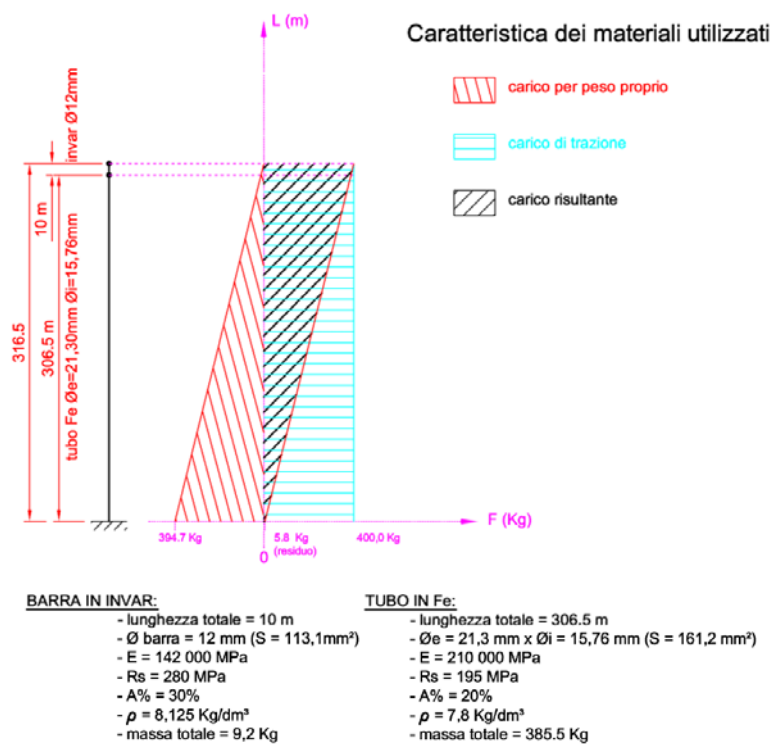


Figura 5B – Dettagli dell'assestimetro di Rubicone

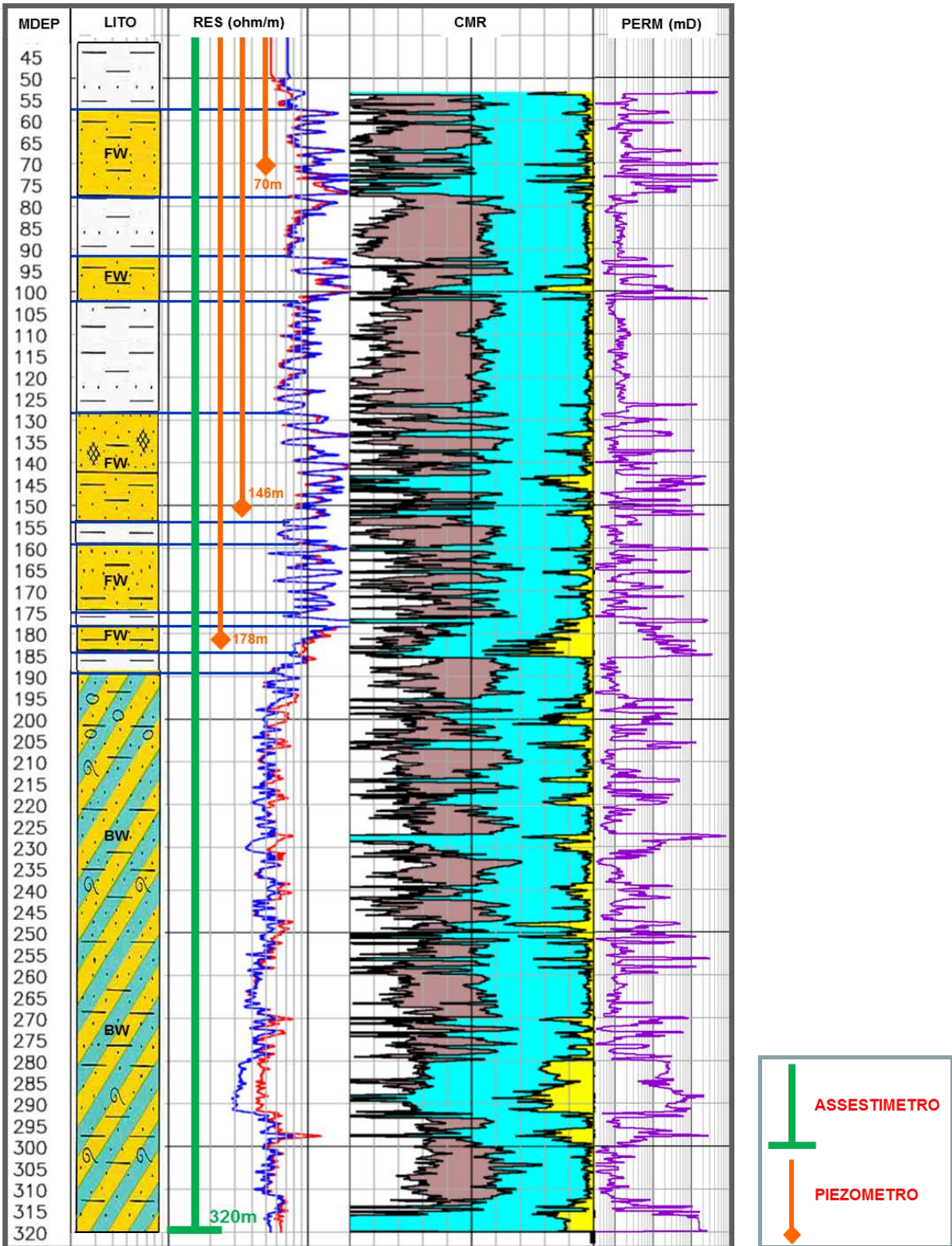


Figura 6B - Litologia dei terreni monitorati dalla stazione EPSU di Rubicone (FW=acqua dolce; BW=acqua salmastra)

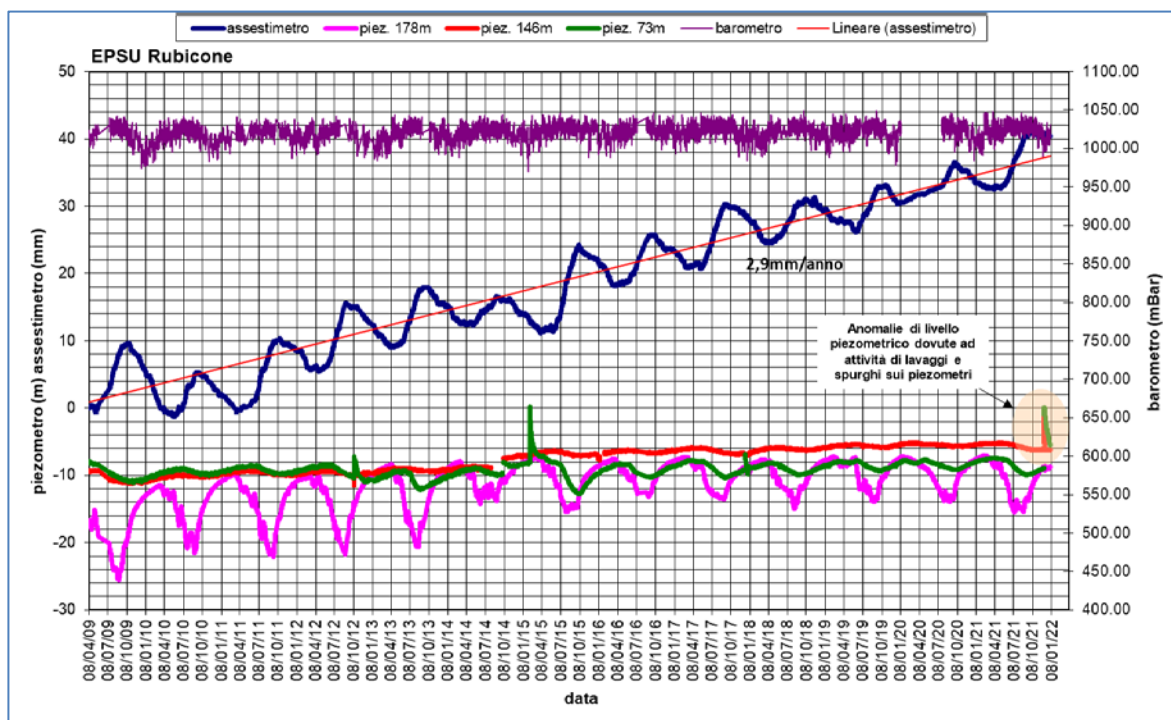


Figura 7B - Stazione EPSU di Rubicone: misure piezometriche-assestmetriche e barometriche

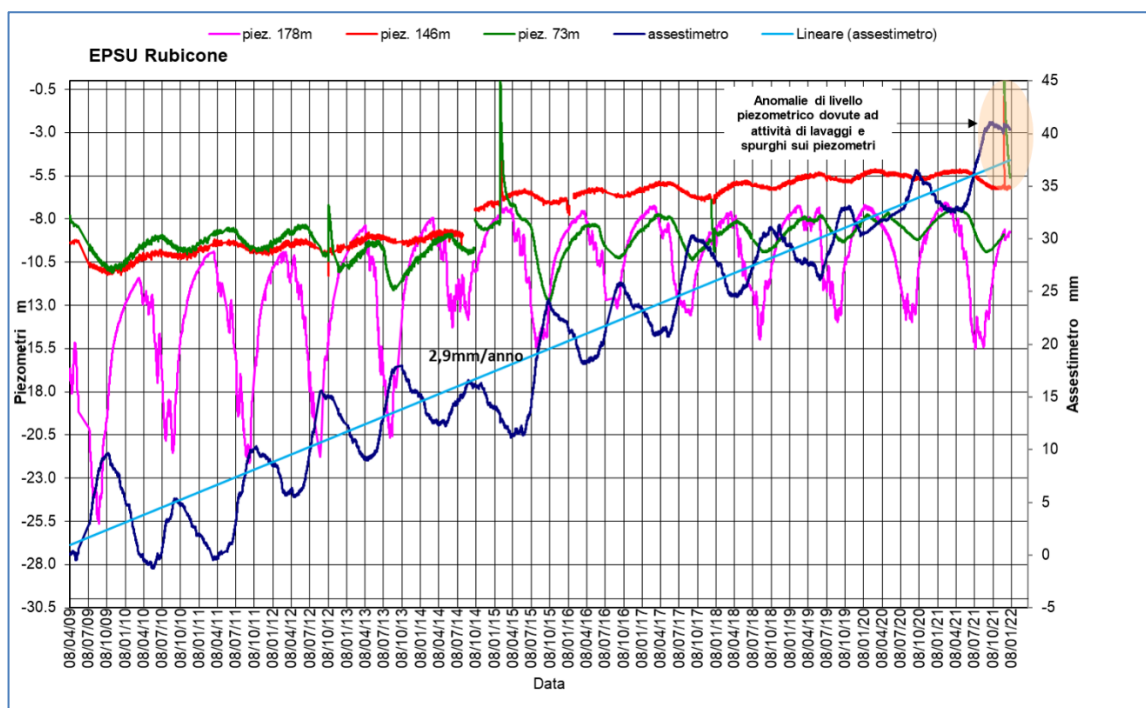


Figura 8B - Stazione EPSU di Rubicone: misure piezometriche-assestmetriche.

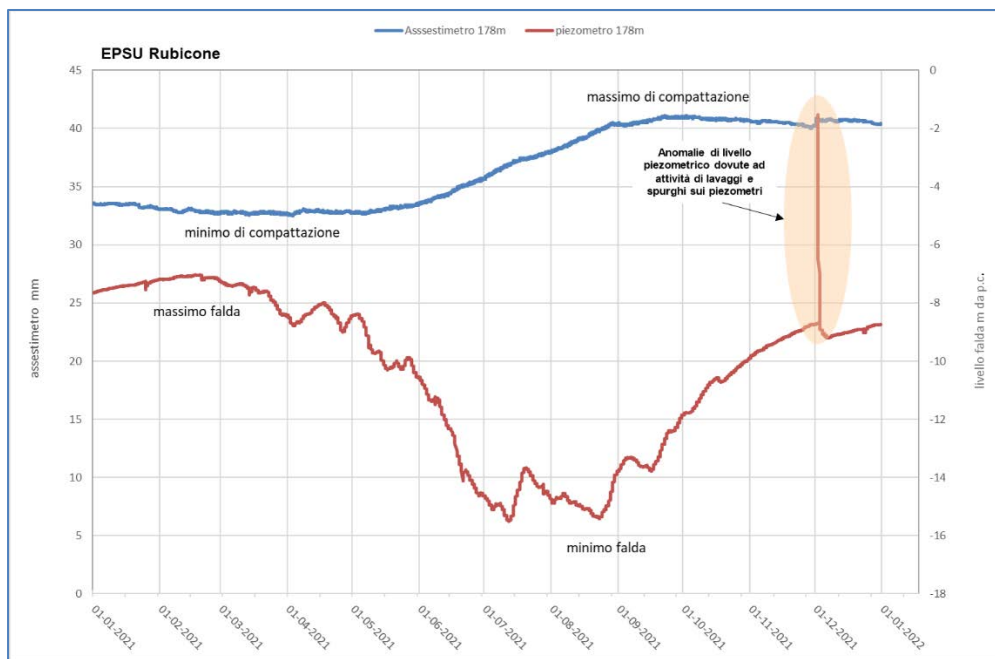


Figura 9B - Stazione EPSU di Rubicone: misure piezometrico-assestimetriche, ultimo anno di dati

 Eni S.p.A.	Campo di BARBARA NW novembre 2022	Documento GEODCS_REL2022_BNW	Page - 42 - of 63
---	--------------------------------------	---------------------------------	-------------------

Stazione *EPSU* di FANO (installata ottobre 2008)

Le coordinate WGS84 della stazione sono: 43° 48' 28.37"N e 13° 02' 25.78"E.

La stazione è ubicata, ad una altitudine di 13.5 ms.l.m., a circa 4.5 km a SSE della città di Fano (PU), lungo la sponda sud (destra) del fiume Metauro, a circa 2.5 km dal mare Adriatico ed all'interno della centrale gas Eni denominata "Fano".

Strumentazione:

- assestimetro - quota bottom: 40.8 m da p.c.
- piezometro a cella singola: quota cella 6.1 m da p.c.

Lo schema della strumentazione messa in opera nella stazione è illustrato nella Figura 10B, mentre la Figura 11B riporta la litologia dei terreni attraversati dal pozzetto assestimetrico.

La raccolta dati di questa stazione è iniziata il 16 ottobre 2008. In tale data (in occasione del collaudo) è stato fatto "lo zero" per tutti i sensori di misura.

L'acquisizione dati è stata fatta con regolarità secondo la seguente frequenza:

- 16 ottobre 2008 - 18 maggio 2009: una misura ogni ora;
- dal 19 maggio 2009 ad oggi: una misura ogni 6 ore.

Nel periodo monitorato (10/2008 - 12/2021) non si sono notate anomalie né a livello sensoristico né a livello di apparecchiatura d'acquisizione dati; per tutto il 2021 la strumentazione ha funzionato correttamente e non sono presenti lacune nelle serie storiche registrate.

Come nel 2020, nel corso del 2021, a causa della situazione pandemica, è stato possibile effettuare un solo controllo generale della strumentazione il 02 agosto 2021, in cui sono stati fatti i controlli manuali e la taratura di tutti i sensori.

Il 30 novembre 2021 è stata effettuata una attività di spurgo/lavaggio sul piezometro realizzato con Cella Casagrande e doppio tubo di acciaio zincato da 1" ½ .

 Eni S.p.A.	Campo di BARBARA NW novembre 2022	Documento GEODCS_REL2022_BNW	Page - 43 - of 63
---	--------------------------------------	---------------------------------	-------------------

Analisi dei dati assestimetrici

L'assestimetro misura la compattazione degli strati di terreno compresi tra la superficie (p.c.) e il punto più profondo d'ancoraggio dello strumento (40.8 m da p.c.).

Nel grafico allegato (Figura 12B) sono riportati per un confronto sia i dati piezometrici sia quelli assestimetrici. In particolare, la quota piezometrica, ovvero la profondità del livello dell'acqua all'interno del tubo piezometrico riferita al piano campagna, è riportata in metri. Il valore della pressione atmosferica, con cui sono state corrette le piezometrie, è indicato in mbar. I dati relativi all'assestimetro sono espressi in millimetri e riportano gli spostamenti misurati rispetto a un valore base iniziale ("misura di zero").

Tale misura è quella del 16 ottobre 2008, data di collaudo del sistema. I valori positivi degli spostamenti nel grafico dell'assestimetro indicano una compattazione e, viceversa, quelli negativi un incremento dello spessore (i.e. espansione) degli strati di terreno monitorati.

Sin dall'inizio della sua installazione, lo strumento non ha mai fatto registrare significative variazioni di spessore (compattazioni o espansioni) della porzione di terreno monitorato.

Le escursioni cicliche stagionali sono dell'ordine di ± 1 mm, con una punta massima di compattazione di circa 1.5 mm registrata all'inizio del 2012.

La curva assestimetrica, inoltre, si correla bene con l'andamento del livello della falda acquifera monitorata dal piezometro posto a circa 6 m dal piano campagna, anche se con uno sfasamento temporale (ritardo delle compattazioni rispetto ai minimi piezometrici) di qualche mese. Si osservano, infatti, quasi regolarmente i massimi di compattazione all'incirca a metà gennaio di ogni anno, mentre i minimi livelli della falda acquifera si verificano, quasi sempre, circa nei quattro/cinque mesi prima dell'anno precedente, ovvero intorno a metà settembre/ottobre.

Nel corso del 2021 (Figura 13B) si è assistito a un ciclo simile agli anni precedenti, senza significative variazioni; una compattazione di circa 1 mm (0.91) a inizio anno è stata quasi del tutto recuperata da una successiva espansione estiva (metà luglio/inizio agosto), per ritornare poi a un valore di circa 1 mm (compattazione) nel periodo autunno-invernale.

Alla fine del 2021 l'assestimetro registra, quindi di nuovo, una compattazione di ca. 1 mm (0.97) con una compattazione complessiva totale nell'anno nulla (Figura 13B).

Le misure assestimetriche, acquisite nei circa 13 anni di osservazioni in questa stazione, mostrano, analogamente a quelle della stazione più a sud di Falconara, una situazione del

 Eni S.p.A.	Campo di BARBARA NW novembre 2022	Documento GEODCS_REL2022_BNW	Page - 44 - of 63
---	--------------------------------------	---------------------------------	-------------------

terreno sostanzialmente stabile, con una compattazione complessiva (-0.003mm/anno) pressoché nulla (Fig.12B) a parte le variazioni cicliche stagionali.

Passando al confronto con la piezometria, si nota che la curva assestimetrica mostra una buona correlazione con gli andamenti stagionali della falda. La curva assestimetrica si presenta sfasata anche rispetto a quella piezometrica, raggiungendo il minimo (massima espansione) circa quattro mesi dopo il massimo del livello piezometrico (Figura 12B e Figura 13B). Questo comportamento potrebbe essere spiegato dal ritardo con cui si contrae o rigonfia un grosso strato d'argilla di circa 32 m (Figura 11B) quando varia la pressione. La presenza di tale strato d'argilla è stata rilevata durante la perforazione del foro assestimetrico.

Analisi dei dati piezometrici

Nel grafico di Figura 12B sono riportati i valori (in m) misurati dal piezometro Casagrande a doppio tubo di acciaio zincato da 1" ½. L'installazione di due trasduttori di pressione, uno per ogni canna, rende possibile controllare il grado di affidabilità del piezometro stesso. In questo caso la differenza di misura tra i due sensori è stata di circa ± 7 cm, il che rientra nella normale tolleranza dello strumento. L'ultima verifica generale della strumentazione, con controlli manuali dei livelli piezometrici e taratura di tutti i sensori, è stata effettuata il 2 agosto 2021. Successivamente, in data 30 novembre è stata effettuata una attività di spurgo/lavaggio e sono stati rifatti i controlli dei trasduttori di pressione. Al termine dell'attività di manutenzione il piezometro è risultato integro e perfettamente funzionante.

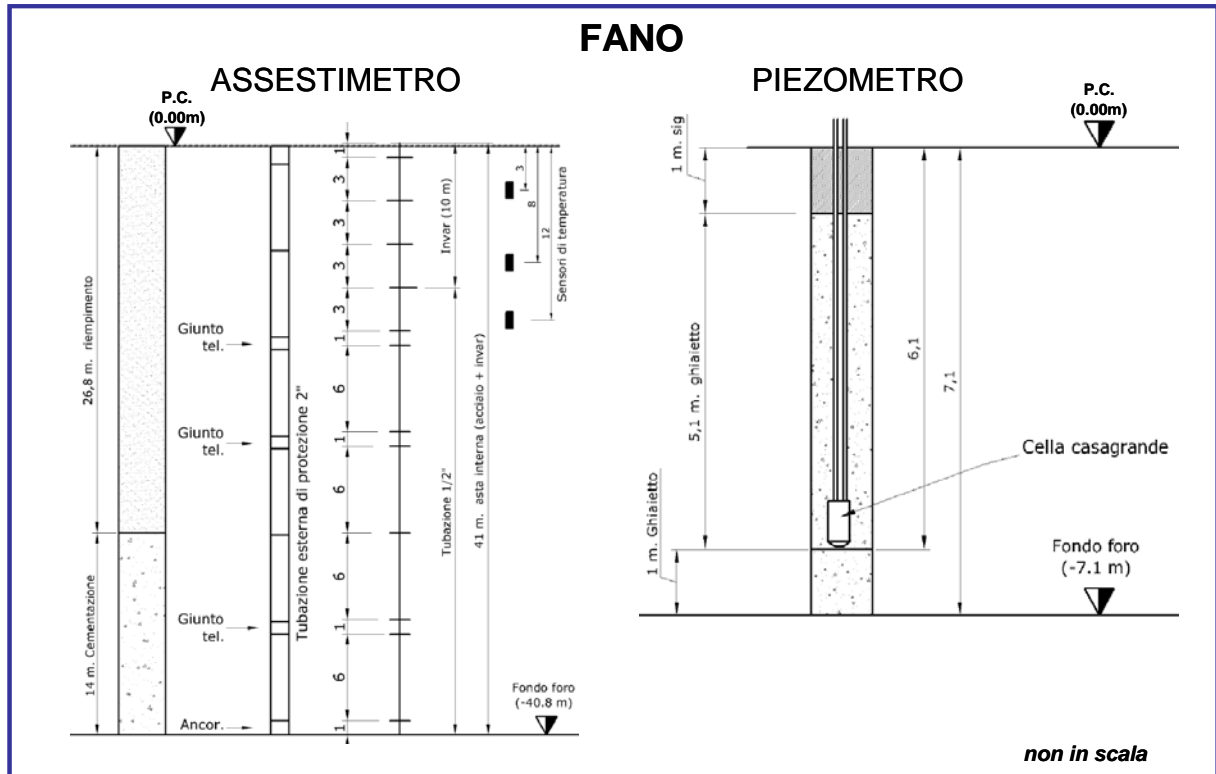


Figura 10B - Stazione EPSU di Fano

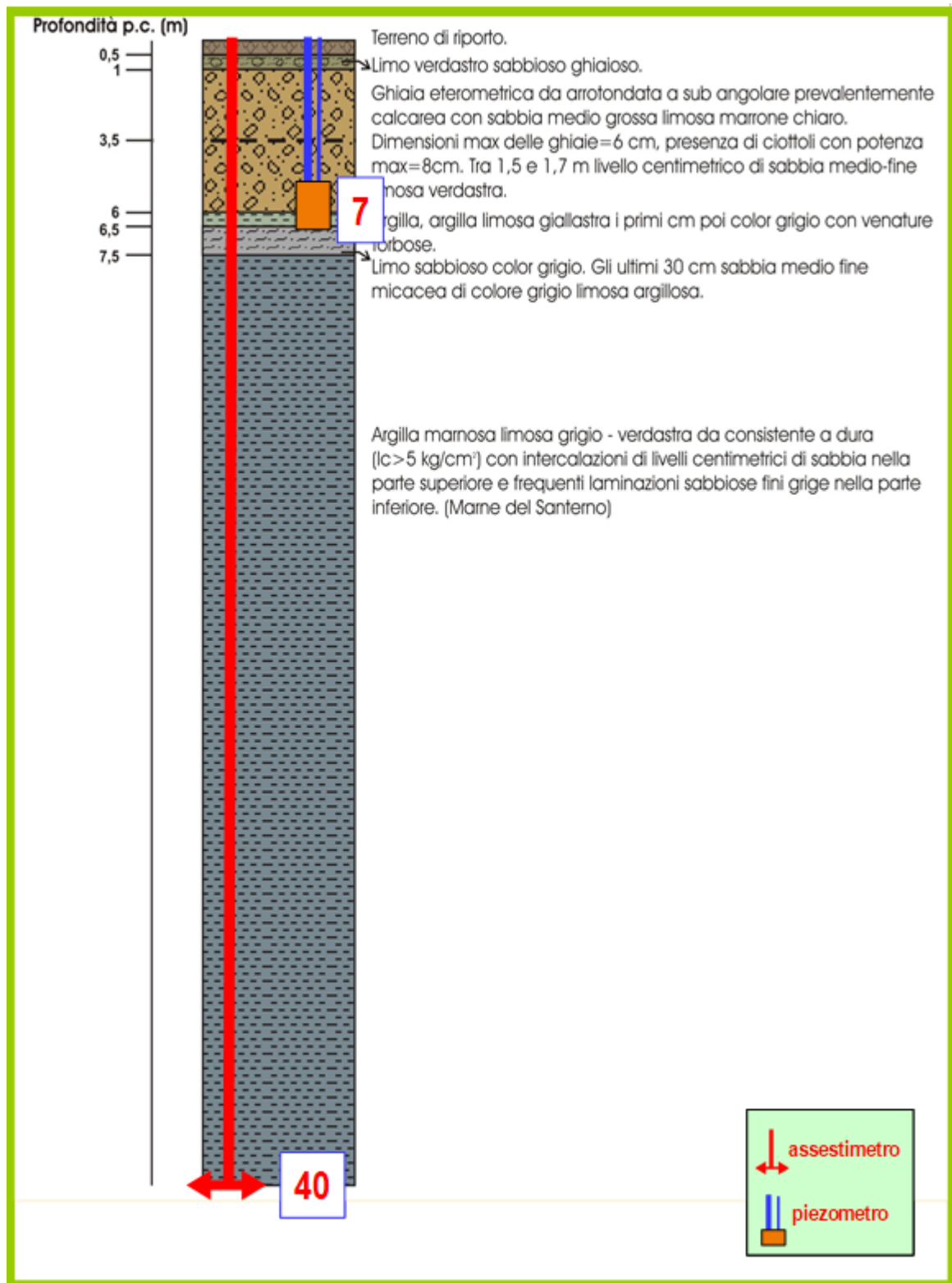


Figura 11B - Litologia dei terreni monitorati dalla stazione EPSU di Fano

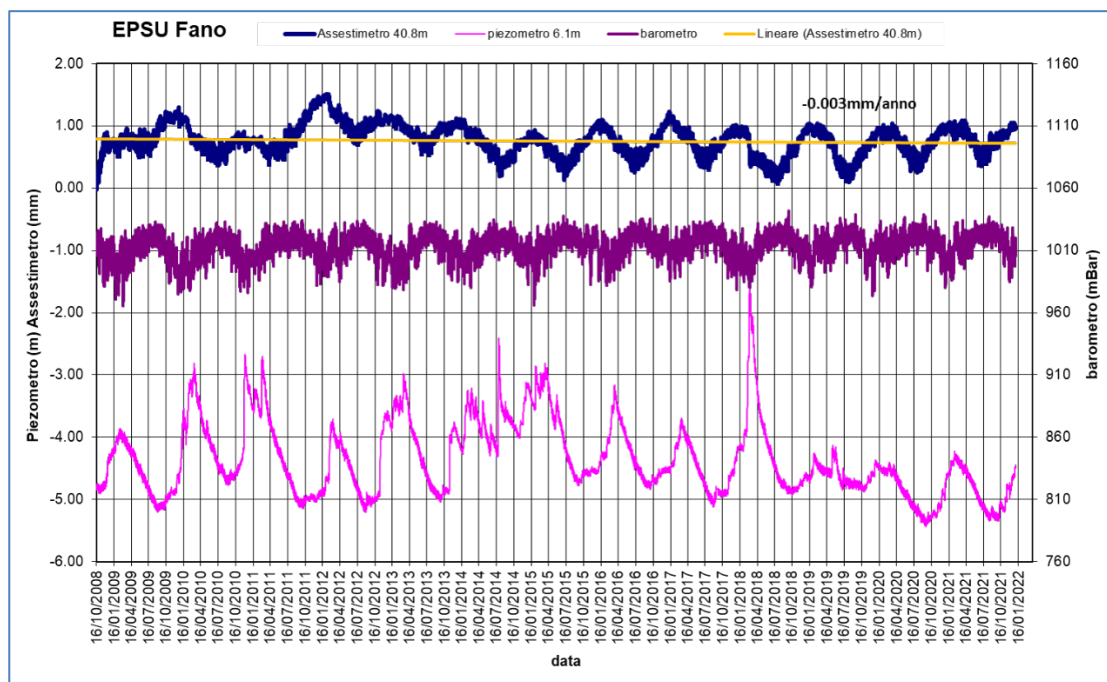


Figura 12B - Stazione EPSU di Fano: misure piezometriche-assestimetriche e barometriche.

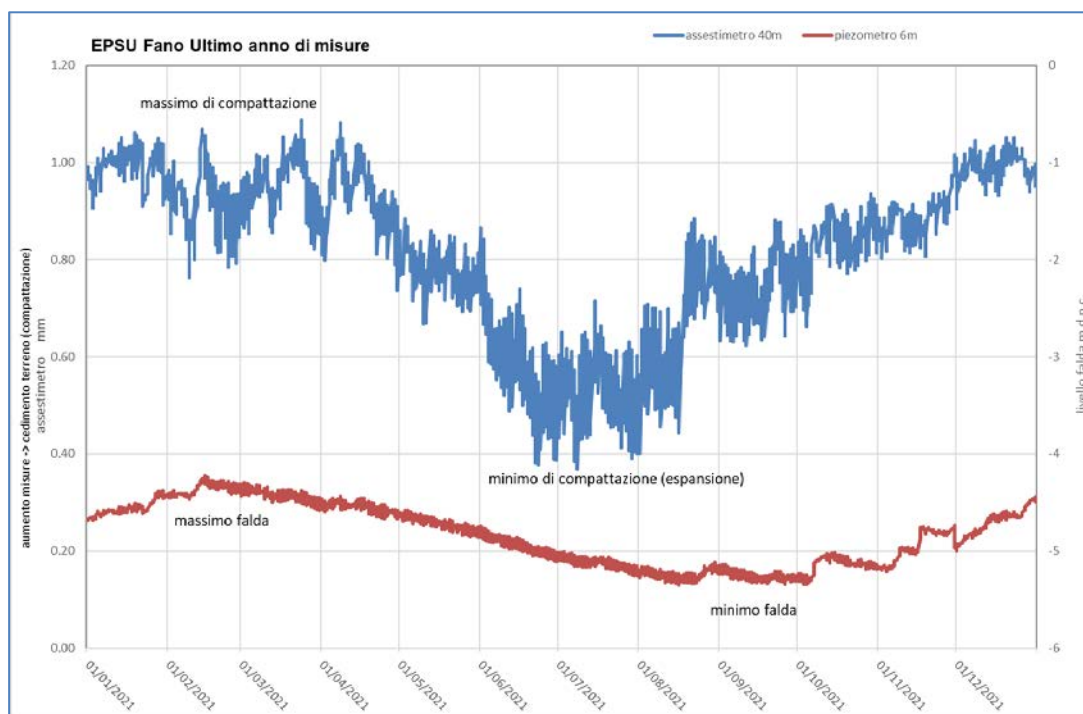


Figura 13B - Stazione EPSU di Fano: misure piezometrico-assestimetriche, ultimo anno di dati.

 Eni S.p.A.	Campo di BARBARA NW novembre 2022	Documento GEODCS_REL2022_BNW	Page - 48 - of 63
---	--------------------------------------	---------------------------------	-------------------

Stazione *EPSU* di FALCONARA (installata ottobre 2008)

Le coordinate WGS84 della stazione sono: 43° 38' 28.86"N e 13° 21' 23.69"E.

La stazione è ubicata, ad una altitudine di 3.5 ms.l.m., a circa 750 m a sud-ovest della località Marina di Rocca Priora e dal mare Adriatico, lungo la sponda nord (sinistra) del fiume Esino ed all'interno della centrale gas Eni denominata "Falconara".

Strumentazione:

- assestimetro - quota bottom: 40.3 m da p.c.
- piezometro a cella singola - quota cella: 21 m da p.c.

Lo schema della strumentazione messa in opera nella stazione è illustrato nella Figura 14B, mentre la Figura 15B riporta la litologia dei terreni attraversati dal pozzetto assestimetrico.

La raccolta dati di questa stazione è iniziata il 16 ottobre 2008.

A tale data (in occasione del collaudo) è stato fatto "lo zero" dei sensori di misura.

L'acquisizione dati è stata fatta con regolarità secondo la seguente frequenza:

- 16 ottobre 2008 -18 maggio 2009: una misura ogni ora;
- 08 maggio 2009 ad oggi: una misura ogni 6 ore.

Nei periodi 07 ottobre 2011- 02 novembre 2011 e 03 dicembre - 13 dicembre 2011 si è avuto un problema d'alimentazione all'apparecchiatura d'acquisizione automatica dei dati, con conseguente mancata registrazione degli stessi. Identico problema si è verificato tra febbraio e aprile 2012; si è perciò sostituito parte dell'hardware del sistema d'acquisizione.

Nel 2021 la strumentazione ha funzionato correttamente e non sono presenti lacune nelle serie dei dati registrati.

Come nel 2020, nel corso del 2021, a causa della situazione pandemica, è stato possibile effettuare un solo controllo generale della strumentazione il 02 agosto 2021, in cui sono stati fatti i controlli manuali e la taratura di tutti i sensori.

Il 30 novembre 2021 è stata effettuata una attività di spurgo/lavaggio sul piezometro realizzato con Cella Casagrande e doppio tubo di acciaio zincato da 1" ½.

 Eni S.p.A.	Campo di BARBARA NW novembre 2022	Documento GEODCS_REL2022_BNW	Page - 49 - of 63
---	--------------------------------------	---------------------------------	-------------------

Analisi dei dati assestimetrici

L'assestimetro misura la compattazione degli strati di terreno compresi tra il piano di campagna (p.c.) e il punto più profondo d'ancoraggio dello strumento (40.3 m da p.c.).

Nel grafico allegato (Figura 16B) sono riportati per un confronto sia i dati piezometrici sia quelli assestimetrici. In particolare, la quota piezometrica, ovvero la profondità del livello dell'acqua all'interno del tubo piezometrico riferita al piano campagna, è riportata in metri. Il valore della pressione atmosferica, con cui sono state corrette le piezometrie, è indicato in mbar. I dati relativi all'assestimetro sono espressi in millimetri e riportano gli spostamenti misurati rispetto a un valore base iniziale ("misura di zero"). Tale misura è quella del 16 ottobre 2008, data di collaudo del sistema. Valori positivi degli spostamenti nel grafico dell'assestimetro indicano una compattazione e, viceversa, valori negativi un incremento dello spessore (i.e. espansione) degli strati di terreno monitorati.

Come nel caso della stazione di Rubicone, anche per quella di Falconara la variazione nel tempo delle misure assestimetriche è caratterizzata da una curva ad andamento oscillatorio stagionale molto ben correlabile con le variazioni di livello della falda d'acqua, a 22 m di profondità, registrate dal piezometro nell'ultimo anno (Figura 17B).

L'assestimetro, che reagisce quasi immediatamente all'escursione massima e minima annuale della falda, mostra, inoltre, uno stato del terreno assolutamente stabile nel tempo, cioè senza apprezzabile compattazione. La velocità media annua calcolata con regressione lineare delle misure assestimetriche risulta, infatti, pari a ca. 0.1 mm/a (leggera espansione dello spessore di terreno monitorato).

Analisi dei dati piezometrici

Il grafico di Figura 16B oltre ai dati assestimetrici riporta in ordinate sia la quota piezometrica (m), ovvero la profondità del livello dell'acqua all'interno del tubo piezometrico riferita al piano campagna, sia il valore della pressione barometrica, utilizzato anche per correggere le piezometrie.

Nel caso di Falconara il livello della falda è risultato molto alto, circa 1.3 m da p.c. Dato che si sono utilizzati 2 trasduttori di pressione - uno per ogni canna del piezometro Casagrande - si è in grado di controllare l'attendibilità delle misure.

Come già accenato, a causa della situazione pandemica, dovuta all'infezione da virus COVID19 è stato possibile effettuare un solo controllo generale della strumentazione il 2 agosto 2021, in cui sono stati fatti i controlli manuali e si è misurato con freatimetro il livello della falda per verificare la qualità delle misure registrate dai trasduttori: il piezometro è da considerarsi affidabile. In data 30 novembre, come già detto, è stata effettuata una attività di spurgo/lavaggio sul piezometro realizzato con Cella Casagrande e doppio tubo di acciaio zincato da 1" ½. Anche in questa occasione sono stati rifatti i controlli dei trasduttori di pressione e il piezometro sottoposto a manutenzione ha risposto in modo positivo durante l'attività di pulizia, risultando integro e perfettamente funzionante.

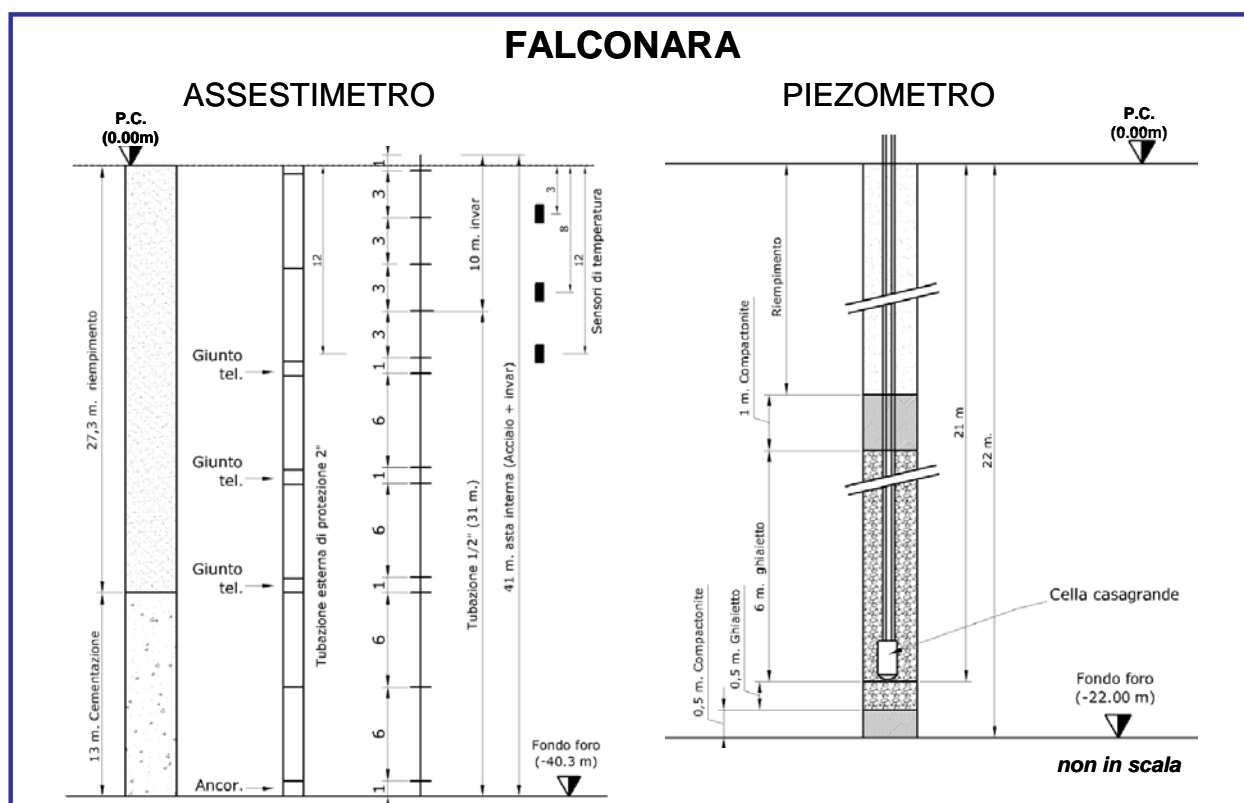


Figura 14B - Stazione della stazione EPSU di Falconara

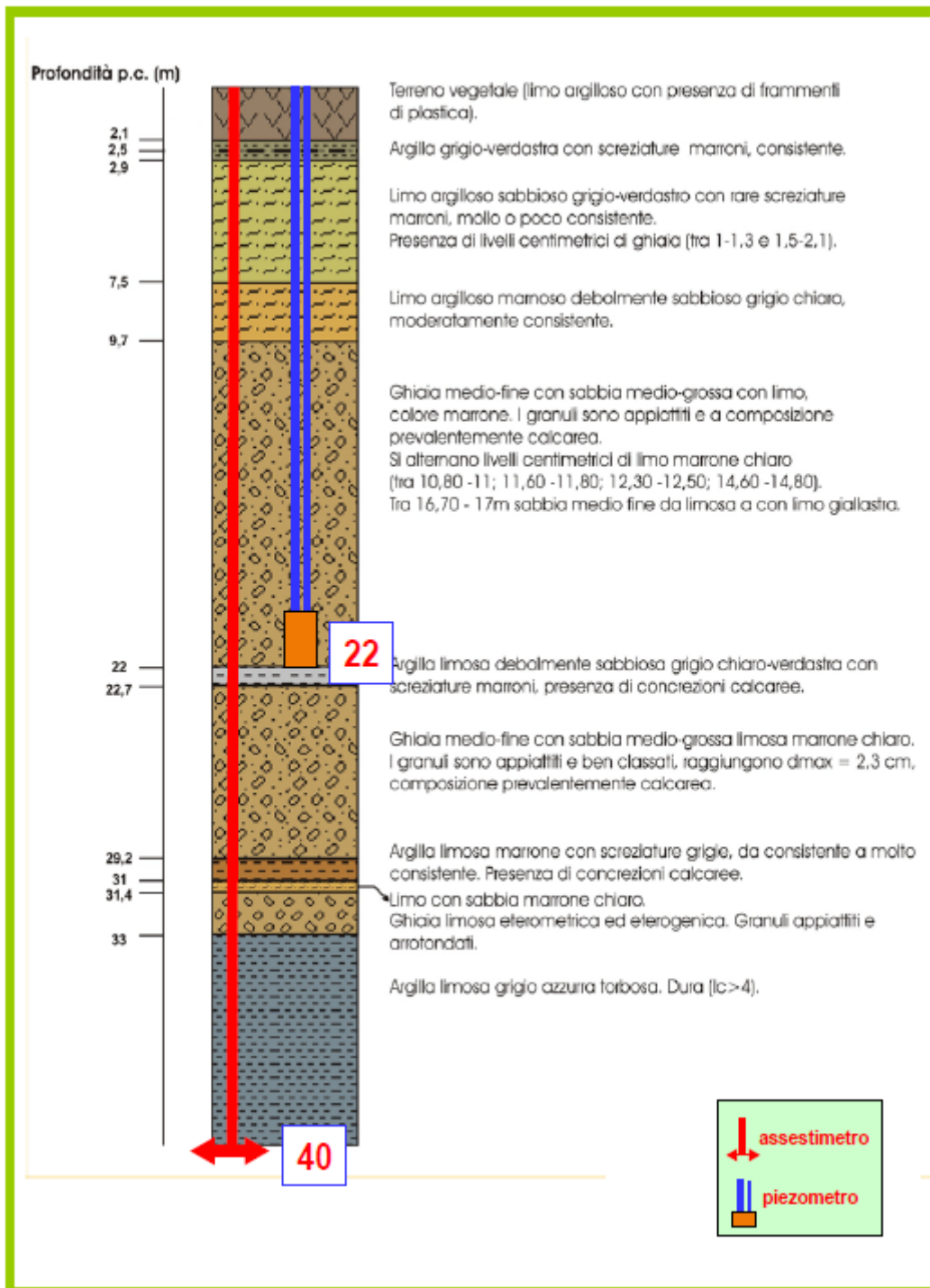


Figura 15B - Litologia dei terreni monitorati dalla stazione EPSU di Falconara

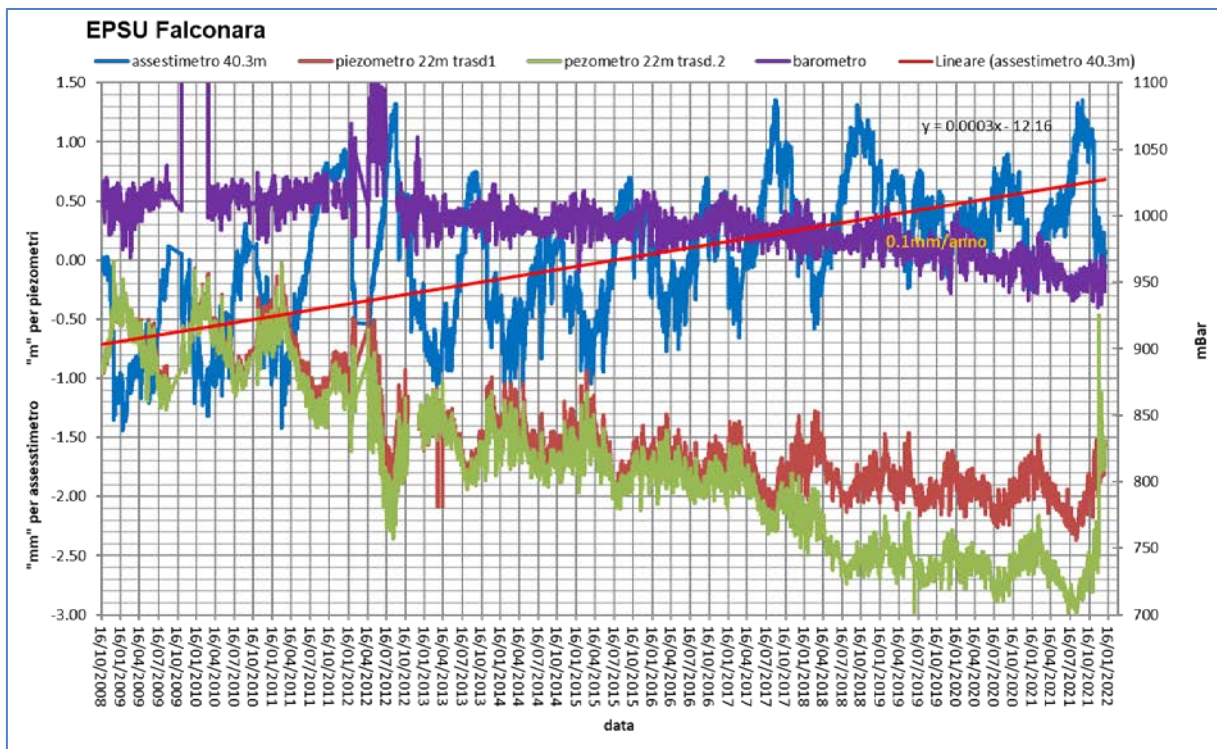


Figura 16B - Stazione EPSU di Falconara: misure piezometriche-assestimetriche e barometriche.

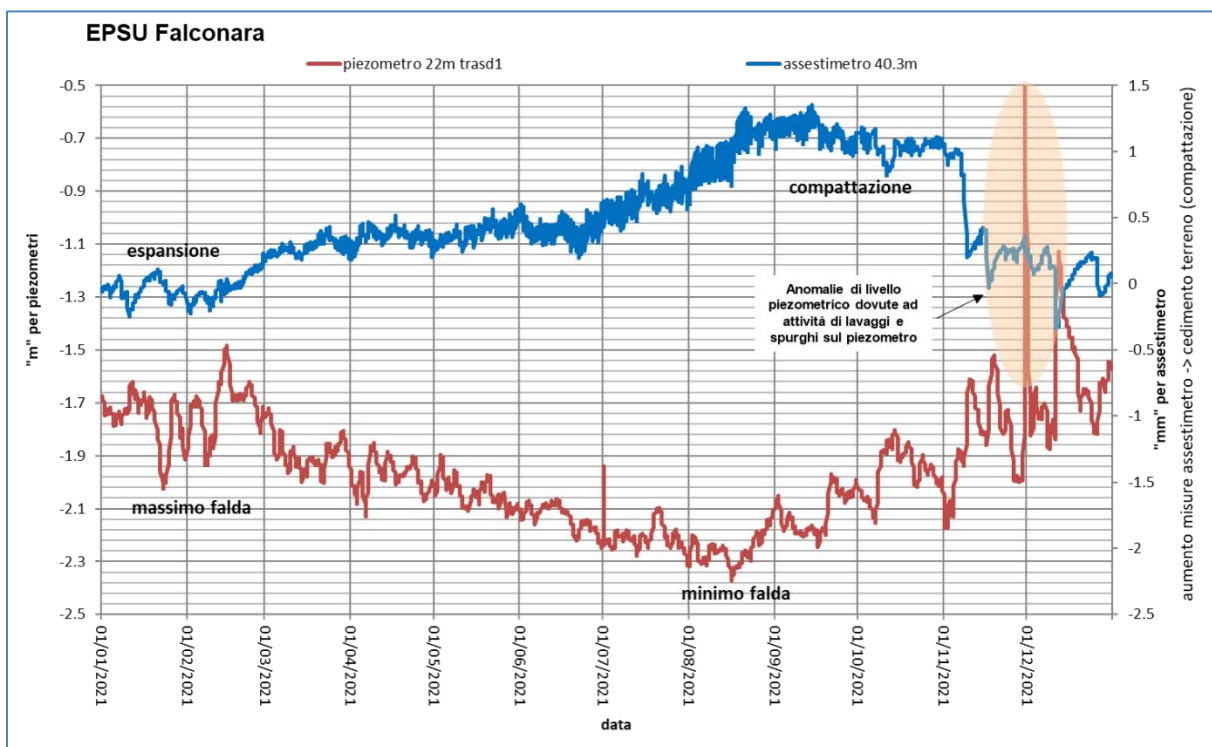


Figura 17B - Stazione EPSU di Falconara: misure piezometrico-assestimetriche, ultimo anno di dati

 Eni S.p.A.	Campo di BARBARA NW novembre 2022	Documento GEODCS_REL2022_BNW	Page - 53 - of 63
---	--------------------------------------	---------------------------------	-------------------

Conclusioni

Dall'insieme dei dati sino ad ora raccolti nelle 3 stazioni *EPSU* si nota, in generale, una buona correlazione diretta tra l'andamento stagionale della piezometrica ed i cicli di compattazione ed espansione del terreno misurati dagli assestimetri.

Tale correlazione è più evidente nel caso di Falconara, dove il piezometro monitora le falde superficiali più sensibili a tutte le variazioni stagionali di piovosità.

Anche nel caso di Rubicone c'è un'ottima correlazione tra i cicli stagionali di compattazione/espansione del terreno monitorati dall'assestimetro e le corrispondenti variazioni di livello delle tre falde registrate dai piezometri. Le compattazioni massime (contrazioni del terreno), infatti, si hanno all'incirca a settembre/ottobre di ogni anno dopo circa 1 / 1.5 mesi dai minimi livelli di falda; le espansioni massime si verificano, invece, mediamente verso aprile/maggio di ogni anno e a loro volta sono in buona correlazione con i livelli piezometrici massimi delle stesse falde avvenuti nei mesi precedenti. L'assestimetro di questa stazione, essendo il più profondo di quelli installati nelle 3 *EPSU*, è anche quello che registra nel tempo un aumento progressivo della compattazione del terreno monitorato (spessore 320 m). Lo strumento a dicembre 2021, dopo 12.73 anni di funzionamento, misurava, infatti, una compattazione complessiva (rispetto allo zero iniziale) di 40.3 mm, che equivale a una velocità media annua di compattazione pari a circa 3.1 mm/anno. Tale valore resta circa uguale, 2.9 mm/anno, se si elaborano i dati delle misure assestimetriche con una regressione lineare. Nel caso di Fano, il trend delle curve piezometrica e assestimetrica è maggiormente influenzato dalla litologia attraversata dai pozzi, litologia che rende meno evidente la correlazione tra andamento stagionale del livello della falda e misure assestimetriche. Infatti, mentre il piezometro monitora le variazioni di livello della falda in uno strato ghiaioso-sabbioso superficiale (max. profondità 6 m dal p.c.), l'assestimetro è ancorato all'interno di uno strato argilloso spesso circa 32 m e scarsamente comprimibile; lo strumento, infatti, nei circa 13 e più anni (13.21) di funzionamento ha misurato una compattazione complessiva quasi nulla (0.97mm). A tale spessore di litologia argillosa si potrebbero imputare i ritardi nella compattazione espansione del terreno rispetto all'escursione della falda freatica monitorata.

La tabella che segue riporta, per ciascuna stazione, la compattazione complessiva del terreno al 31/12/2021 e la relativa velocità media annua, valutata semplicemente come rapporto fra la misura assestimetrica a fine 2021 e gli anni complessivi di monitoraggio. In questo caso non si è fatta alcuna regressione lineare dei valori della serie storica dell'assestimetro. Questo procedimento potrebbe pertanto, dare risultati non perfettamente uguali, anche se molto simili, a quelli riportati nelle precedenti analisi dei dati assestimetrici. Si noti, altresì, che per le stazioni di Fano e Falconara le misure assestimetriche hanno valori molto piccoli, e che nel periodo d'osservazione non è emerso un trend ben definito di compattazione del terreno (valori piccolissimi). In questo caso le medie annuali non si possono considerare veramente significative.

Sito	Anni di osservazione	Assestimetro profondo		Assestimetro superficiale	
		Spostamento complessivo (mm)	Velocità (mm/a)	Spostamento complessivo (mm)	Velocità (mm/a)
Rubicone	12.73	40.3	3.1	n.i.	-
Fano	13.21	n.i.	-	0.97	n.v.
Falconara	13.21	n.i.	-	0.08	n.v.

n.i. = non installato

n.v. = non valutabile